



БИООРГАНИЧЕСКАЯ ХИМИЯ

Том 17 * № 3 * 1991

ОБЗОРНЫЕ СТАТЬИ

УДК 547.466.057 : 547.455 : 542.9

© 1991 г.

К. А. Кочетков, А. Ф. Свиридов

СТЕРЕОНАПРАВЛЕННЫЙ СИНТЕЗ АМИНОКИСЛОТ ИЗ УГЛЕВОДОВ. III *

Институт органической химии им. Н. Д. Зелинского АН СССР, Москва

В обзоре проанализированы примеры стереонаправленного синтеза ряда «редких» аминокислот из углеводов.

Содержание

- V.1. Синтез фрагментов стрептотрицина
- V.2. (2S,3R,4R,6E)-3-Гидрокси-4-метил-3-метиламино-6-октеновая кислота из циклоспорина А
- V.3. Мириоцин (синоним: термозимацидин)
- V.4. Синтез энантиомеров фураномицина
- V.5. Синтез трихоломиновой кислоты
- V.6. Синтез клаваланина
- V.7. Синтез стереоизомеров детоксинина
- V.8. Синтез редких аминокислот, выделенных из блеомицина
- V.9. Синтез (2R,3S,4S)-4-амино-3-гидрокси-2-метил-5-(3-пиридил)пентановой кислоты — компонента пиридомицина
- V.10. Синтез (1S,3S)-2-(1-амино-3-карбокси-3-гидроксипропил)тиазол-4-карбоновой кислоты из антибиотика носигентида
- V.11. Синтез карсинофилина
- V.12. Синтез негамицина
- V.13. Синтез всех энантиомеров 2-гидроксиметил-4-амино-4-карбокситетрагидрофурана
- V.14. Синтез стереоизомеров оксетина
- V.15. Синтез (3S,4S)-4-амино-3-гидрокси-6-метилгептановой кислоты (статин)
- V.16. Синтез сиастатина В

V. Синтез некоторых небелковых аминокислот

Как говорилось выше, небелковые аминокислоты чрезвычайно широко распространены в природе. К настоящему моменту идентифицировано более 1000 представителей этого класса соединений. Из природных источников они были выделены в виде независимых метаболитов, а также обнару-

* Часть II — см. «Биоорган. химия», 1991, т. 17, № 2. Сокращения: DEAD — диэтиловый эфир азодикарбоновой кислоты; DHP — 2,3-дигидро-4Н-пираз; DIBAL — дизибутилалюминийгидрид; DMP — 2,2-диметоксипропан; DMAP — 4-диметиламино-пиридин; DMSO — диметилсульфоксид; HMPA — гексаметапол; ImH — имидазол; MCPBA — мета-хлорнадбензойная кислота; MEM — β -метоксиэтоксисиметил; MsCl — хлорангидрид метансульфоновой кислоты; NBS — N-бромусуксимид; RCC — хлорхромат пиридания, RuHCrO_3Cl ; PDC — дихромат пиридания, $(\text{RuH})_2\text{Cr}_2\text{O}_7$; PhT > NH — имид фталевой кислоты; Ru — пиридин; TBS — третибутилдиметилсилил; TFAA — ангидрид трифторуксусной кислоты; TFA — трифторуксусная кислота; Tol — толуил; THF — тетрагидрофуран; TrCl — трифенилхлорметан; TsCl — пара-толуолсульфонилхлорид.

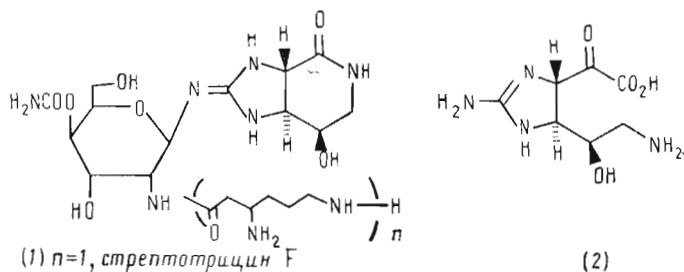
жены в составе многих пептидов, играющих существенную роль в регулировании функций клетки и поэтому нашедших широкое практическое применение в медицине и сельском хозяйстве.

Однако выделение труднодоступных представителей небелковых аминокислот из природных источников в количествах, достаточных для практического применения, не всегда возможно. Это в значительной мере тормозило развитие работ по синтезу биологически важных пептидов и их аналогов, содержащих эти редкие аминокислоты. Поэтому синтетическим исследованиям в этой области всегда уделялось должное внимание. Кроме того, часто только встречный стереонаправленный синтез, как, например, в случае фураницинов или мириоцина, обеспечивал надежное определение абсолютной конфигурации этих редких аминокислот и дальнейшее развитие синтеза как природных аминокислот, так и их аналогов.

Поскольку представители рассматриваемого класса аминокислот обладают относительно простым строением и содержат в своем составе всего два-три хиральных центра (редко больше), при их получении широко использовались доступные α -аминокислоты, различные гидроксикилоты. Однако, как будет показано ниже, наибольшая оптическая чистота редких аминокислот достигалась в большинстве случаев только при использовании в качестве исходных соединений простых и доступных производных углеводов. Применение последних было особенно эффективным для тех небелковых аминокислот, которые содержали то или иное количество хиральных центров, находящихся в вицинальном положении и несущих в качестве заместителей гидроксильные, алкильные, дополнительные аминогруппы и другие функции, которые могут быть получены простыми преобразованиями спиртовых групп в углеводах.

V.1. Синтез фрагментов стрептотрицина

Антибиотики стрептотрициновой группы, одним из представителей которой является стрептотрицин F(1), активны против широкого круга бактерий и некоторых патогенных грибов [1]. Однако из-за значительной токсичности эти антибиотики не получили широкого клинического применения. Тем не менее синтетические исследования в этой области начались давно, и их можно отнести к одним из первых примеров использования углеводов как исходных соединений в сложных стереонаправленных синтезах соединений других классов.

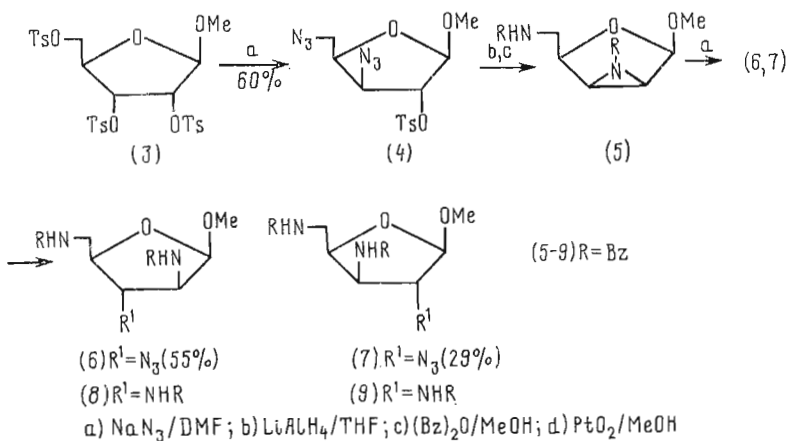


Как видно, в основе структуры стрептотрицинов лежит 2-амино-2-дезокси-D-гулоза, L- β -лизин и необычная гуанидиновая аминокислота (2), названная стрептолидином, которая была выделена из гидролизата антибиотиков [2]. Структура стрептолидина была доказана химической деградацией и рентгеноструктурным анализом нативного антибиотика [3].

Стрептолидин (2) имеет три хиральных центра с общей D-арабино-конфигурацией и может быть получен из подходящего производного углеводов заменой гидроксильных групп при C2 и C3 на аминогруппы с полным обращением конфигурации этих центров. Конфигурация центра, несущего гидроксильную группу в стрептолидине, задается природой исходного сахара; наконец, третья аминогруппа вводится заменой первичной спиртовой группы.

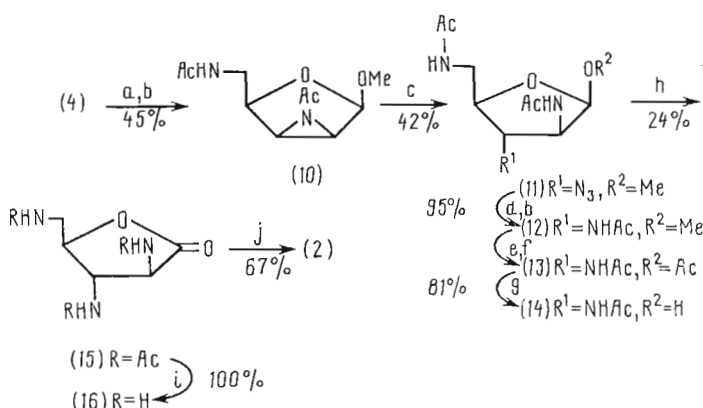
Высокая концентрация аминогрупп в молекуле стрептолидина осложняет их последовательное введение. Поэтому все описываемые ниже синтезы этой аминокислоты не всегда проходили однозначно.

Схема 1



В основе работ по получению стрептолидина из сахаров лежит исследование Геро и сотр. [4] по синтезу полиаминосахаров (схема 1). При действии на тритозилат *D*-рибозида (3) [5] азига натрия в DMF происходит замещение тозилоксигрупп при C3 и C5, и соединение (4) образуется с выходом 60%. Третья тозилоксигруппа в этих условиях не замещается, и некоторые авторы связывают это с конфигурацией аномерного центра [6]. Последующее восстановление азидогрупп до аминогрупп в производном (4) сопровождается одновременным замыканием азиридинового цикла, и после ацилирования образуется дибензоат (5). Раскрытие азиридинового цикла в последнем происходит преимущественно по центру C3, что приводит к желаемому азиду (6), восстановление которого и последующее ацилирование дает триаминосахар (8), обладающий корректной конфигурацией всех хиральных центров для синтеза стрептолидина.

Схема 2

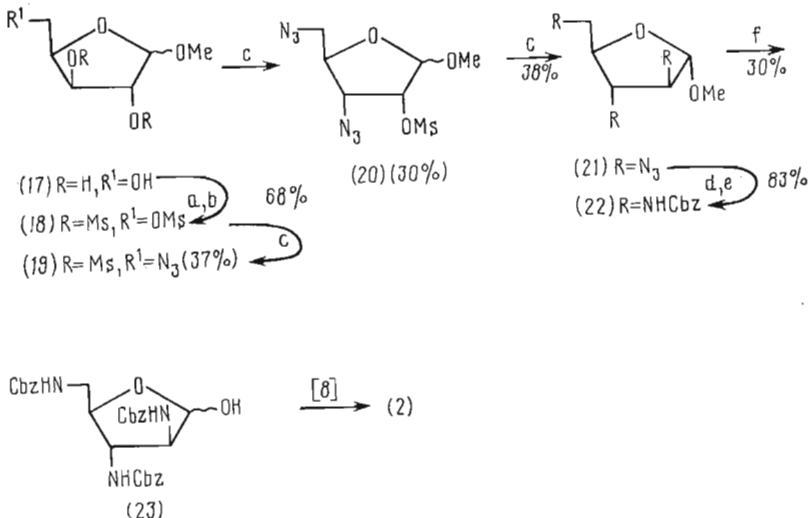


a) $LiAlH_4/THF$; b) $Ac_2O/MeOH$; c) NaN_3/DMF ; d) $H_2, Pd/C, MeOH$; e) TFAA; f) Ac_2O/Py ; g) $MeONa/MeOH$; h) $CrO_3/AcOH \rightarrow H_2SO_4$; i) HCl ; j) диизопропиламино-метилполистирол; $BrCN/MeOH$; HCl .

Следующим этапом синтеза стрептолидина, исходя из триаминопроизводного (8), является переход к свободному сахару и последующее его окисление по C1 до лактона. Однако оказалось, что N-бензоильная защитная группа не выдерживает условий гидролиза. Поэтому авторы другой работы [7], исходя из производного (4) [4], получили N-ацетильный аналог азиридина (5), производное (10) (схема 2), и далее по аналогичной схеме

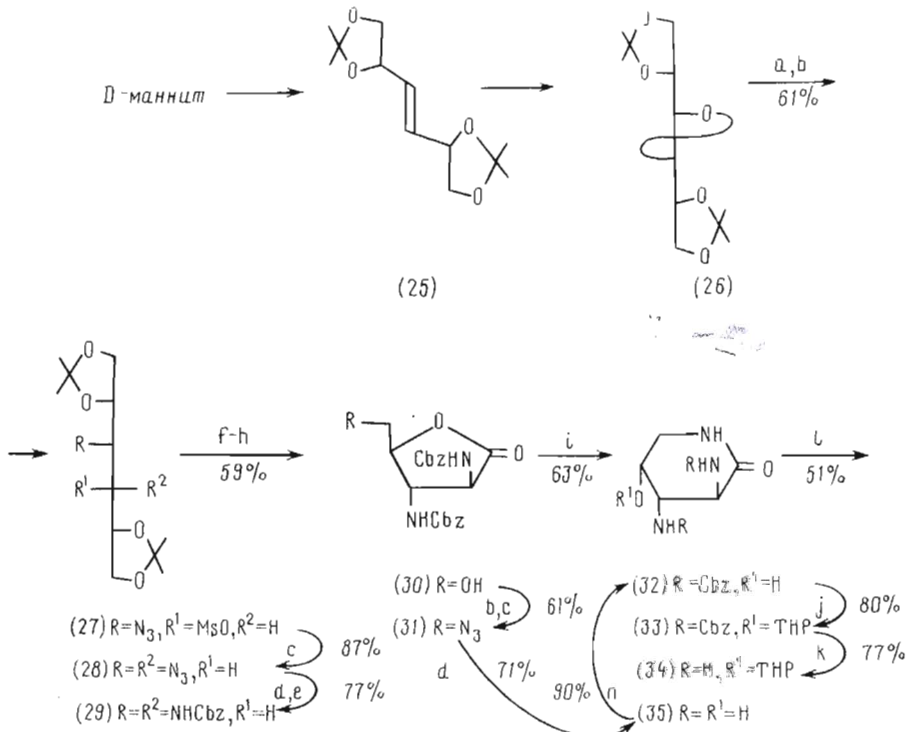
ме — гликозид (12). Гидролиз последнего ($12 \rightarrow 13$) происходит несравненно лучше, и после мягкого снятия 1-O-ацетильной группы с хорошим общим выходом образуется лактол (14). Его окисление до лактона (15), снятие N-ацетильных групп и взаимодействие триамина (16) с бромцианом и последующим кислотным гидролизом приводят к стрептолидину (2). Необходимо отметить, что повторная попытка, предпринятая другой группой авторов [8], провести подобные превращения на N-бензоильной серии также была безуспешной. Поэтому они исходили из N-карбобензоксианалога бензоата (5) [4] и, практически повторив предыдущую N-ацетильную серию [7], получили (2).

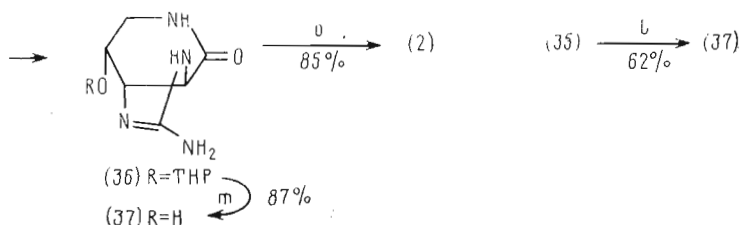
Схема 3



a) HCl/MeOH; b) MsCl/Py; c) NaN_3/DMF ; d) H_2 , Pd; e) Cbz-Cl/Et₃N;
f) 2 H, TsOH/MeOH — H_2O .

Схема 4





- a) NaN_3 , метилцеллозольв, H_2O , NH_4Cl ; b) MsCl/Py ; c) NaN_3/DMF ; d) H_2 , Pd/MeOH ;
e) $\text{Cbz-Cl}/\text{Py}$; f) $\text{AcOH} - \text{H}_2\text{O}$; g) $\text{NaIO}_4/\text{Me}_2\text{CO} - \text{H}_2\text{O}$; h) Br_2 — диоксан — H_2O ;
i) H_2 , $\text{Ni} - \text{Ra}/\text{MeOH}$; j) DHP , TsOH/DMF ; k) H_2 , Pd/C , MeOH ; l) BrCN ; m) HCl ;
n) $\text{Cbz-N-оксисукциниимид}/\text{DMF} - \text{H}_2\text{O}$; o) 3 н. HCl .

Близким по сути является и синтез стрептолидина (2), осуществленный из *D*-ксилозы по схеме 3 [6]. Нуклеофильное замещение мезилоксигруппы в тримезилате (18) на азидогруппу приводит только с 30 % выходом к нужному производному (20). Введение третьей азидогруппы в диазид (20) удавалось осуществить только в случае его α -аномера, что приводило к триазиду (21). Восстановление азидных групп и последующие операции вплоть до стрептолидина (2) авторы работы [6] осуществили в соответствии с предыдущим [7, 8].

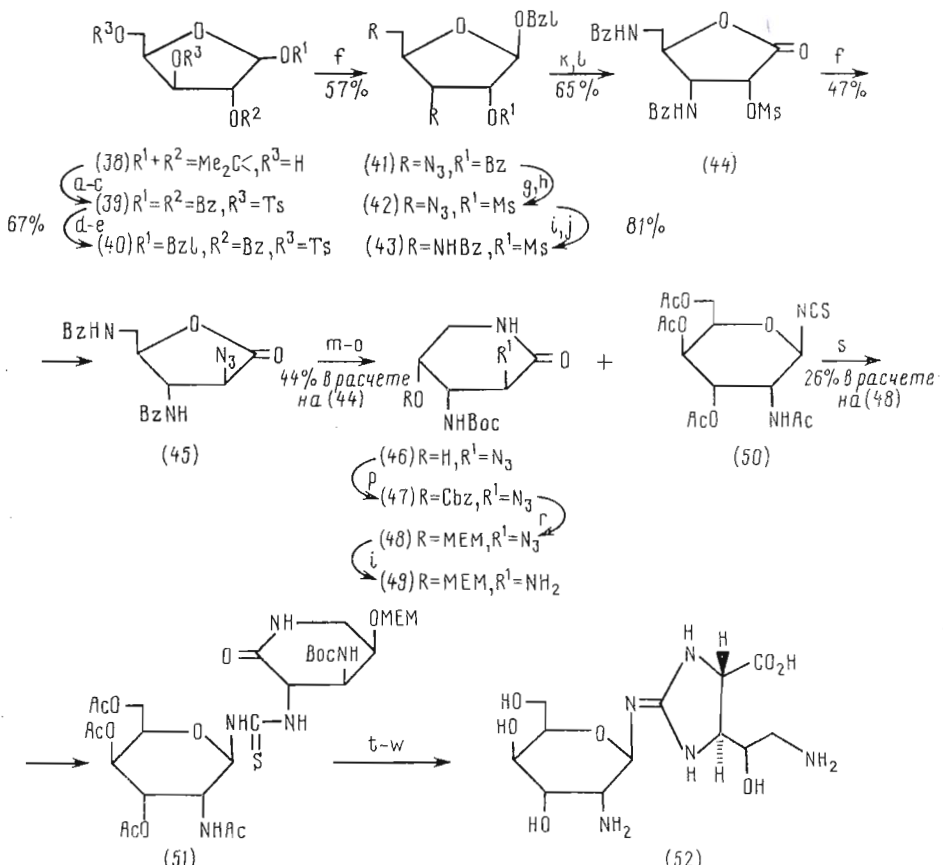
В синтезе лактама стрептолидина (37) (схема 4) авторы работы [9] исходили из легкодоступного из *D*-маннита 3,4-олефина (25) [10], эпоксидирование которого благодаря влиянию соседних О-изопропилиденовых групп преимущественно приводит к стереоизомеру (26). После обработки азидом натрия эпоксида (26), мезилирования промежуточного спирта и повторного замещения мезилоксигруппы образуется диазид (28) с требуемой конфигурацией центров С3 и С4. Последующий гидролиз О-изопропилиденовых групп, окисление диольной системы 1, 2 эквивалентами периодата натрия и окисление промежуточного альдегида приводят с высоким выходом к лактону (30), в котором первичная спиртовая группа стандартным путем была замещена на азидогруппу (31). Восстановление последней приводит к лактаму (32), в других условиях — к производному (35), из которых через ряд стандартных операций и производные (32) — (34), (36) были получены лактам (37) и затем стрептолидин (2).

Наиболее оптимальный вариант синтеза стрептолидина (2) и его β -*D*-2-амино-2-дезоксигулопиранозида (52) исходя из *D*-ксилозы был предложен в 1981 г. [11] (схема 5). Исходным соединением здесь послужила 1,2-О-изопропилиден- α -*D*-ксилофураноза (38), получаемая из *D*-ксилозы в две стадии, из которой известным методом был получен дibenзоат (39) и затем бензилгликозид (40) [12]. Две О-тозильные группы были далее замещены на азидогруппы, что привело к триазиду (41). После снятия О-бензоильной защиты и мезилирования производное (42) каталитически восстанавливают до соответствующего диамина и после N-бензоилирования получают соединение (43). Наличие бензоильной защиты группы центра С1 в гликозиде (43) позволило избежать стадии гидролиза гликозидной связи и тем самым неконтролируемого N-дебензоилирования. Окисление промежуточного лактоля приводит к лактону (44). Замещение мезилоксигруппы, находящейся рядом с лактонной группировкой и из-за отсутствия влияния заместителя при аномерном центре, проходит сравнительно гладко, приводя к азиду (45), который через ряд операций был превращен в производное (48).

Восстановление азидогруппы в соединении (48) дает амин (49), который конденсировали с гликозилизоцианатом (50), полученным в этой же работе. Образующийся N-гликозид (51) по разработанному авторами методу [11] переводили в целевой продукт (52).

Наконец, в последней работе этой серии [13] той же группой авторов, исходя из производных, описанных выше, был осуществлен синтез стрепторицина F(1).

Схема 5



a) TsCl/Py; b) AcOH — H₂O; c) BzCl/Py; d) HBr/CH₂Cl₂; e) BzLOH, Hg(CN)₂;
 f) NaN₃/DMF; g) NaOMe/MeOH; h) MsCl/Py; i) H₂, Pd/C; j) BzCl/Py; k) Pd/AcOH;
 l) CrO₃/AcOH; m) Et₃O⁺BF₄⁻, K₂CO₃; n) H₃O⁺; o) Boc-Cl/Py; p) Cbz-Cl/Et₃N;
 r) MEMCl/Py; s) EtJ/THF; u) TFAA; v) Et₃N/THF; w) HCl.

V.2. (2S, 3R, 4R, 6E)-3-Гидрокси-4-метил-2-метиламино-6-октеновая кислота из циклоспорина А

Редкая аминокислота (53) входит в состав ундекапептида циклоспорина A, выделенного из грибов *Tolyphocladium inflatum* [14]. Циклоспорин является важнейшим иммунодепрессантом. N-Метильная группа и гидроксил в этой кислоте (схема 6) находятся в *трео*-конфигурации, как и в случае N-метил-L-трониона, а гидроксильная и метильная группы — в *эритро*-конфигурации, двойная связь имеет *транс*-конфигурацию. Относительная и абсолютная конфигурации этой необычной аминокислоты были установлены рентгеноструктурным анализом иодопроизводного циклоспорина A [15].

Синтез аминокислоты (53) был осуществлен из *L*-винной кислоты [16], легкодоступного и очень широко используемого в современном органическом синтезе соединения [17]. На первом этапе синтеза (схема 6) решалась задача введения метильной группы по С4 и создание *D*-эрритро-конфигурации центров С3 и С4. Это достигалось раскрытием *транс*-дизамещенного оксирана (59), получаемого через ряд несложных превращений (54) → (58) с высоким общим выходом. Обработка соединения (59) диметиллитийкупратом в условиях [18] приводила исключительно к ожидаемому С-метилпроизводному (60), которое де-О-бензилированием переводилось в триол (61).

Используя несимметричное расположение гидроксильных групп в молекуле триола (61), на втором этапе синтеза аминокислоты (53) (схема 7)

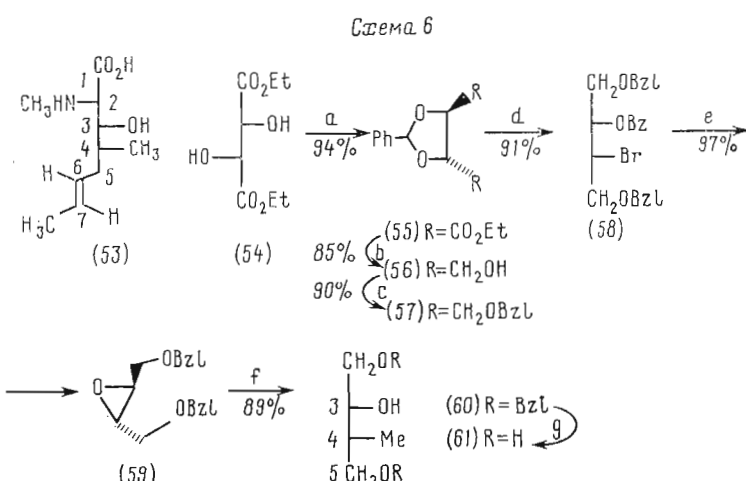
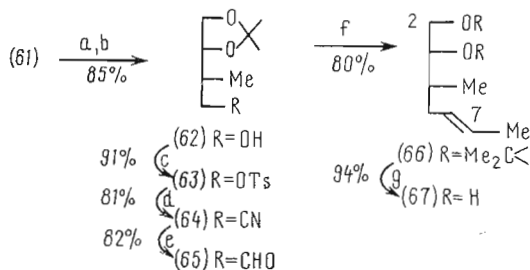


Схема 7



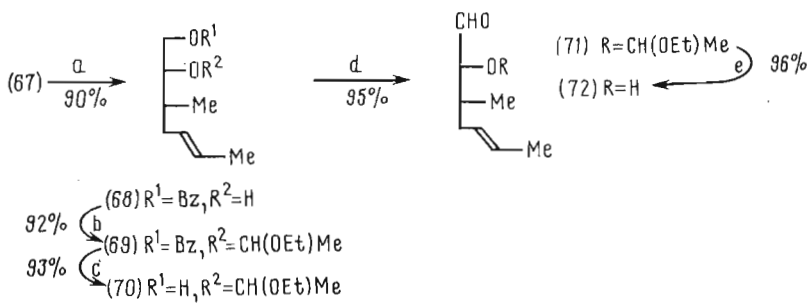
a) DMP, TsOH; b) Me_2CO , TsOH; c) TsCl/Py ; d) KCN/DMSO ;
e) DIBAL/ C_6H_{14} ; f) $\text{Ph}_3^+\text{PEtBr}^-$, BuLi ; g) 1 u. $\text{HCl}/\text{THF} - \text{H}_2\text{O}$.

осуществили гомологизацию цепи по С5 и построение *транс*-двойной связи. С этой целью триол (61) сначала ацетонировали по вицинальным гидроксильным группам, полученный спирт (62) тозилировали, чем достигалась дифференциация гидроксильных групп. Обработка тозилата (63) KCN давала нитрил (64), который затем был переведен в альдегид (65) и далее реакцией Виттига — в олефин (66). Снятие О-изопропилиденовой защиты в последнем приводило к важному интермедиату — диолу (67).

Как видно, для завершения синтеза аминокислоты (53) в молекулу диола (67) по С2 необходимо ввести N-метиламино- и карбоксильную группы. Для этого в первую очередь необходимо было селективно окислить первичную спиртовую группу до альдегидной. В принципе эту операцию можно провести в одну стадию. Однако образующийся α -гидроксилальдегид (72) (схема 8) претерпевает в условиях реакции быструю изомеризацию в термодинамически более стабильный α -гидроксикетон [19], и выход целевого продукта не превышал 25 %. Автору в результате осуществления пятистадийного синтеза удалось повысить выход этого альдегида до 70 %. Так, монобензоилирование диола (67), последующая защита вторичного гидроксила в образовавшемся спирте (68) и снятие О-бензоильной группы в (69) приводят к первичному спирту (70), окисление которого и последующее снятие α -этоксиэтильной защиты дают требуемый альдегид (72).

На заключительном этапе синтеза (схема 9) альдегид (72) обрабатывают KCN и солянокислым метиламином, что приводит к диастереомерной по центру C2 смеси цианаминов (73), которую далее превращали в оксазолидин-2-он (74), соотношение *цис*-/*транс*-изомеров в котором составило 6 : 1. Оба диастереомера с высоким выходом через интермедиат (75) были

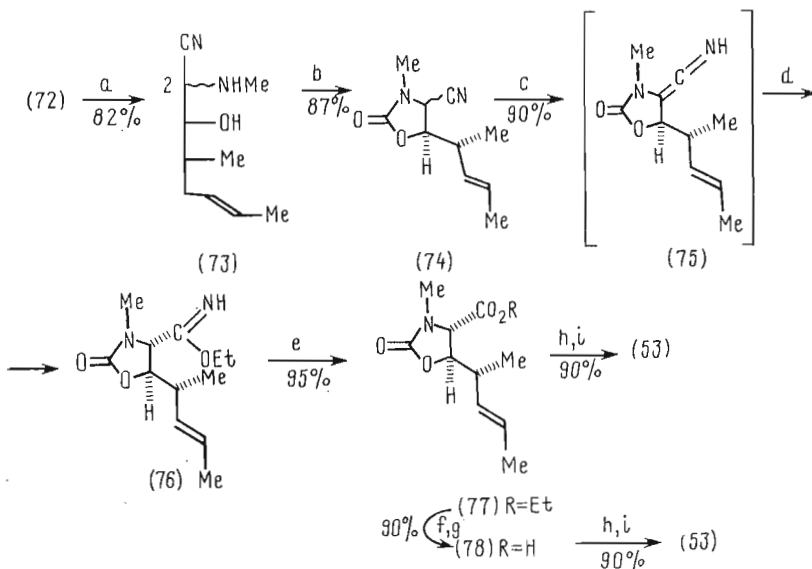
Схема 8



a) BzCl/Py ; b) $\text{CH}_2=\text{CH(OEt)}/\text{TFA}$; c) 1 н. KOH/EtOH ; d) PCC; e) HCl/THF .

превращены в карбоксимидат (76) ($Z/E = 3 : 1$). Гидролиз соединения (76) дает энантиомерно чистую кислоту (77). Обе защитные группы в аминокислоте (77) могут быть удалены в одну стадию щелочным гидролизом (90%) или ступенчато. Так, сложноэфирная группа селективно гидролизуется 0,1 н. KOH в диоксане при комнатной температуре, образуя кислоту (78), которая в более жестких условиях омыления дает целевую аминокислоту (53). Общий выход аминокислоты (53) на 24 стадиях составил 7,8%, что соответствует среднему 90% выходу на каждой стадии. О других методах получения аминокислоты (53) не из углеводов см. в работах [20–22].

Схема 9

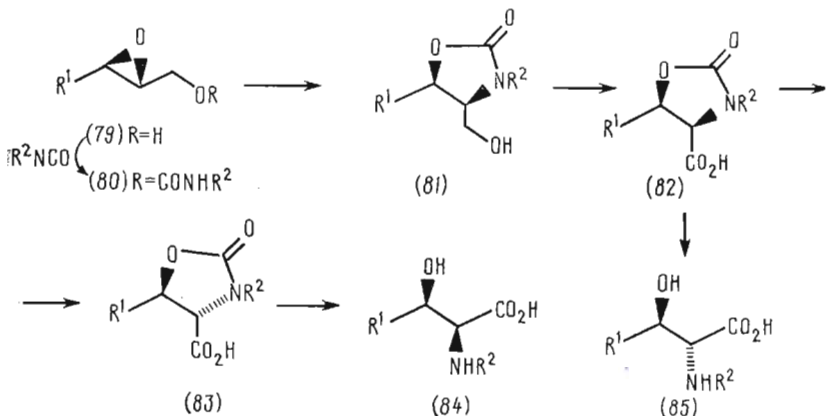


a) $\text{KCN}, \text{McNH}_2 \cdot \text{HCl}/\text{MeOH} - \text{H}_2\text{O}$; b) $1,1\text{-ImCO}/\text{CH}_2\text{Cl}_2$; c) $\text{K}_2\text{CO}_3/\text{EtOH}$; d) EtOH ; e) 1 н. HCl/EtOH ; f) 0,1 н. $\text{KOH}/\text{диоксан}$; g) HCl (рН 2); h) 2 н. $\text{KOH}/\text{H}_2\text{O}$; i) HCl (рН 5).

Необходимо упомянуть еще об одном перспективном методе получения как кислоты (53), так и других аминокислот, содержащих в вицинальном положении амино- и гидроксигруппы (например, статин, см. раздел V.16). Речь идет об использовании оксазолидинового метода синтеза аминокислот. Интермедиаты этого синтеза, производные (81), могут быть легко получены нуклеофильным раскрытием оптически активных форм карбаматов 2,3-эпоксиспиртов (80).

Последовательное окисление первичной спиртовой группы в интермедиате (81), эпимеризация производного (82) [23] и гидролиз (83) приводят к *син*- β -гидрокси- α -аминокислотам (84), как это требуется в синтезе аминокислоты (53). В то же время гидролиз интермедиата (82) может дать

Схема 10



анти-продукт (85). Известны эффективные методы изомеризации β -гидрокси- α -аминокислот по центру, несущему гидроксильную группу, например при действии на производные типа (84) или (85) тионилхлорида [23], что может привести к двум другим стереоизомерам β -гидрокси- α -аминокислот. Кроме того, изменение положения окисления в производном (81), как видно (окисление до карбоксильной функции остатка R¹), открывает возможность для получения α -гидрокси- β -аминокислот, что было реализовано в синтезе статина (см. раздел V.16).

Рассмотренный подход был осуществлен в синтезе кислоты (53) из неуглеводных предшественников [24] и широко применялся в синтезе дигидросфингозинов на основе легкодоступных из углеводов карбаматов 2,3-эпоксиспиртов [25].

V.3. Мириоцин (синоним: термозимацидин)

Антибиотик мириоцин (86) был выделен в 1972 г. и идентифицирован как 2-амино-2-гидроксиметил-3,4-дигидрокси-14-оксоэйказа-6-еновая кислота [26]. В ходе исследований была установлена относительная стереохимия антибиотика, однако абсолютная конфигурация была спорной, пока не был осуществлен синтез лактонной формы энантиомера мириоцина (97) (схема 11) [27, 28].

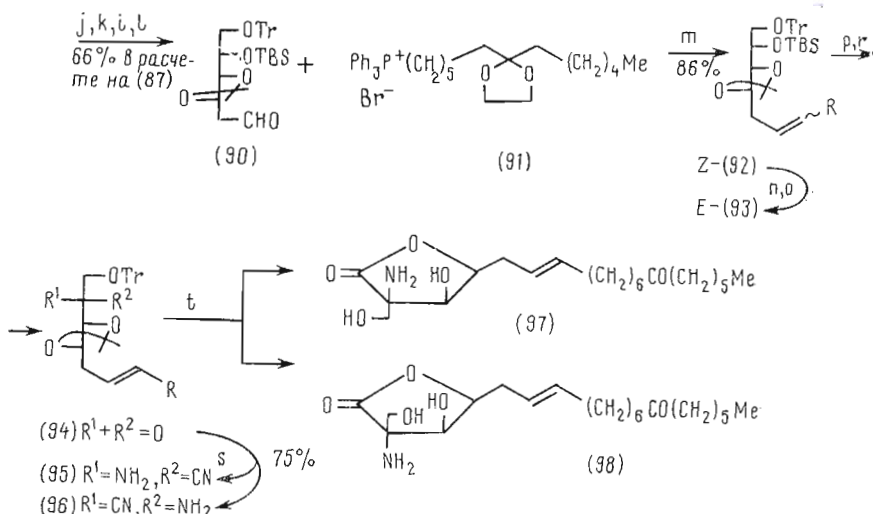
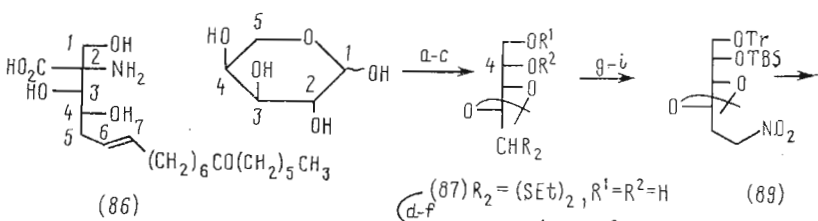
Авторы этого синтеза пришли к заключению, что наилучшим исходным соединением является D- или L-арabinоза, так как в их молекулах уже существует вицинальная *транс*(*treo*)-диольная система. И основные проблемы синтеза мириоцина из этих исходных сводятся к удлинению цепи пентоз на один атом углерода по C1, по которому далее будет строиться *транс*-двойная связь, и к селективной защите гидроксила при C4, который можно на последней стадии превратить в кетофункцию, затем в цианамин и далее в аминокислоту.

Предварительные исследования на модельном производном, полученном из D-арабинозы, дали возможность разработать наиболее оптимальный вариант синтеза антибиотика, повторение которого на L-арабинозе привело к энантиомеру природного соединения и к окончательному установлению строения последнего.

Дитиоацеталь L-арабинозы (87) (схема 11) последовательными тритиеванием, силилированием и удалением дитиоацетальной защиты был превращен в альдегид (88). Примененная система защитных групп позволяет сохранить в неизменном виде функционализацию и конфигурацию центров C2, C3 и C4 в продолжение всего синтеза, а также в дальнейшем региоселективно построить центр C2 в мириодиже (центр C4 в альдегиде (88)).

Следующий этап синтеза заключается в построении *транс*-двойной связи, для чего предварительно необходимо провести гомологизацию аль-

Схема 11



a) EtSH/HCl ; b) Me_2CO , CuSO_4 ; c) H_2SO_4 ; d) TrCl/Py ; e) $\text{TBS-Cl}/\text{Py}$;
f) $\text{HgO} - \text{HgCl}_2/\text{Me}_2\text{CO} - \text{H}_2\text{O}$; g) MeNO_2 , KF ; h) Ac_2O , DMAP ; i) NaBH_4 ;
j) EtONA ; k) O_3 ; l) PCC ; m) BuLi/THF ; n) MCPBA ; o) $\text{Ph}_2\text{PLi}/\text{THF}$, MeI ;
p) Bu_4NF ; r) $\text{DMSO} - \text{Ac}_2\text{O}$; s) NaCN , $\text{NH}_4\text{Cl}/\text{NH}_3 - \text{MeOH}$; t) $\text{HCl}/\text{MeOH} - \text{H}_2\text{O}$.

дегида (88), что было осуществлено следующим образом. Конденсация альдегида (88) с нитрометаном приводит к β -нитрометилютруту, ацетат которого действием NaBH_4 был превращен в нитропроизводное (89) [29]. Озонолиз натриевого производного (89) и последующие операции приводят к гомологичному альдегиду (90). Последнее производное может быть введено в реакцию с фосфораном, полученным из фосфониевой соли (91), которая, в свою очередь, была синтезирована из циклооктанона. При этом преимущественно получается (*Z*)-олефин (92). Так как антибиотик содержит *транс*-двойную связь, на данном этапе необходимо было найти метод ее изомеризации.

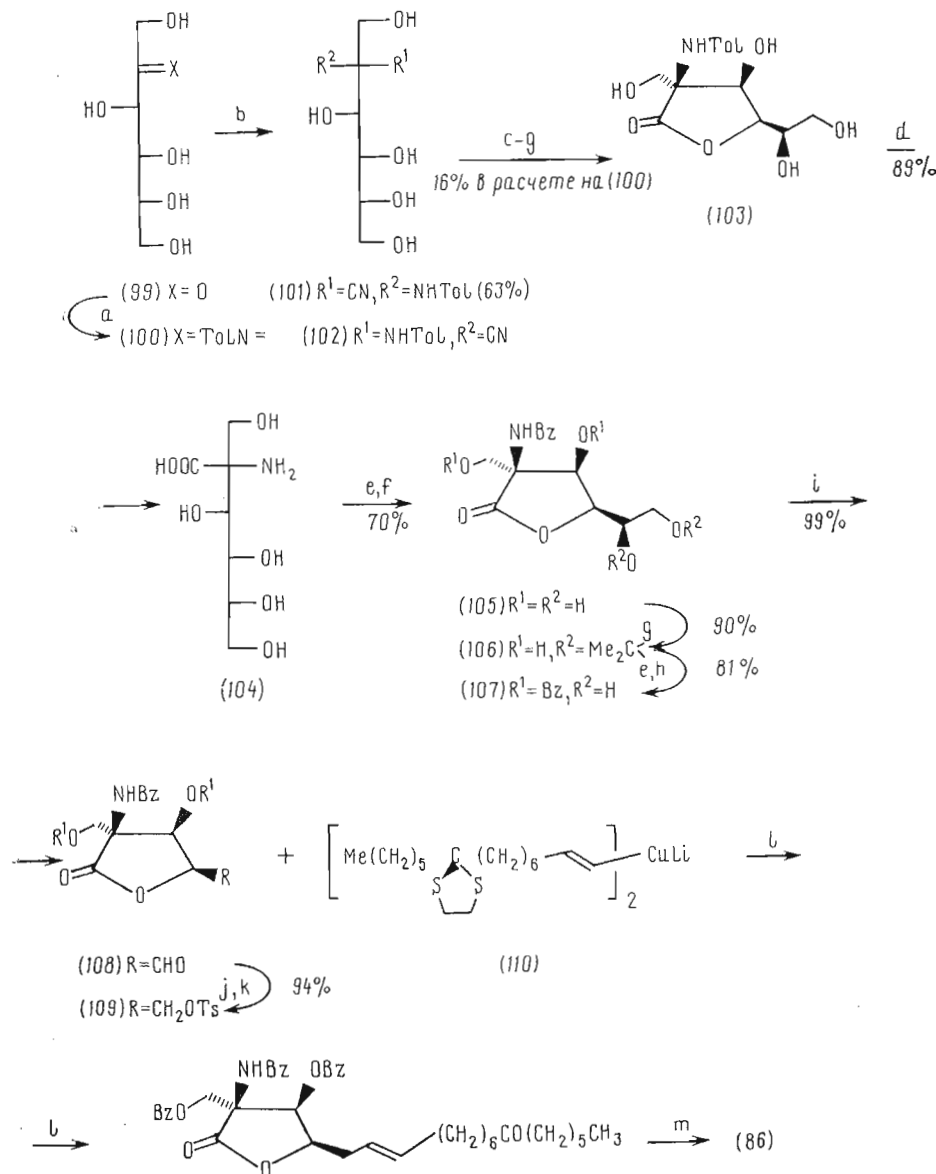
В настоящее время известно много методов обращения двойной связи. Авторы работы [30] применили эффективный метод изомеризации, который включает в себя эпоксидирование олефина, раскрытие α -эпоксида дифенилfosфидом лития и *цикло*-элиминирование метилдифенилфосфиноксида с образованием *E*-изомера. Выход олефина (93) при такой последовательности реакций составляет 90 %.

На заключительном этапе синтеза снятие силильной защиты и последующее окисление промежуточного спирта приводили к кетону (94), аминоцианирование которого давало эпимерную смесь аминоцианидов (95) и (96) в соотношении 4 : 5, выделенных хроматографией в энантиомерно чистом виде. Кислотный гидролиз последних, сопровождаемый одновременным снятием всех защитных групп и лактонизацией, дает ангидридо-производные (97) и (98), из которых соединение (97) оказалось энантиомером мириоцина (86). Необходимо отметить, что лактоны (97) и (98) по сравнению с природным антибиотиком не показали какой либо значи-

тельной активности против микроорганизмов *Candida*, *Dermatophytes* и *Trichomonades*.

Как было показано на схеме 11, при построении центра С2 в производном (94) образуется смесь эпимеров (95), (96) примерно в соотношении 1 : 1. Проведение этой стадии в конце синтеза поэтоому нежелательно, и для повышения эффективности синтеза ее лучше выносить в начало. Кроме того, процесс построения транс-двойной связи в антибиотике по этой схеме включает в себя большое количество стадий. Учет этих данных позволил другой группе авторов [31, 32] разработать иной путь синтеза природного изомера антибиотика (схема 12).

Схема 12



a) [30]; b) HCN/EtOH — H_2O ; c) 37% HCl; d) 1 н. HCl; H_2 , Pd/C; e) BzCl/Py; f) MeOH, Et_3N ; g) Me_2CO , H_2SO_4 ; h) AcOH — H_2O — THF. 3 : 1 : 1; i) $NaIO_4$ /THF — H_2O ; j) $NaBH_3CN$ /THF; k) $TsCl/Et_3N$, DMAP; l) DIBAL/ C_6H_{14} → I_2 /THF; Bu^4Li ; CuBr· Me_2S + $HC\equiv C(CH_2)_6C(SSCH_2CH_2)(CH_2)_5CH_3/Et_2O$ + 109/THF — HMPA; m) 1 н. NaOH.

Стратегия синтеза антибиотика по схеме 12 включает в себя сочленение тозилата (109) с купратом (110) по известной аналогии [33], приводящей к стереоселективному построению двойной связи с *E*-конфигурацией.

Интермедиат (109) может быть получен из доступного лактона (103), ожидаемого продукта при гидролизе нитрила (102), стереохимически соответствующему мириоцину. В свою очередь производное (102) можно синтезировать из *D*-фруктозы (99).

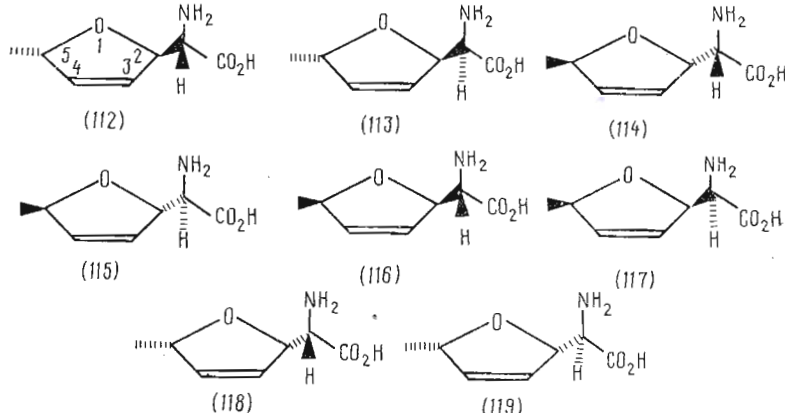
В синтезе интермедиата (102) авторы исходили из известного толилямина (100) [34]. Присоединение HCN к имину (100) приводит к диастереомерной смеси (3 : 1) аминонитрилов, причем желаемый продукт (102), к сожалению, не только явился миорным компонентом смеси, но и трудно выделялся из маточника после кристаллизации энантиомера (101). Выход целевого продукта (102), однако, можно повысить изомеризацией энантиомера (101) под действием HCN.

Гидролиз нитрильной группы, снятие N-толильной защиты, N-бензоилирование и ацетонирование приводят к лактону (106), который через ряд стандартных операций (O-бензоилирование, снятие O-изопрошилidenовой группы, периодатное окисление промежуточного иола (107), восстановление альдегида (108) и тозилирование промежуточного спирта) переводили в тозилат (109), являющийся C1 — C5-фрагментом мириоцина.

Наращивание углеродной цепи антибиотика было проведено взаимодействием этого тозилата (109) с соответствующим (*E*)-алкенилкуратом (110), синтез которого был осуществлен из морфолиленамина циклогексанона. Полученный в результате сочленения фрагментов (109) и (110) продукт (111) щелочным гидролизом был переведен в мириоцин (86), идентичный природному.

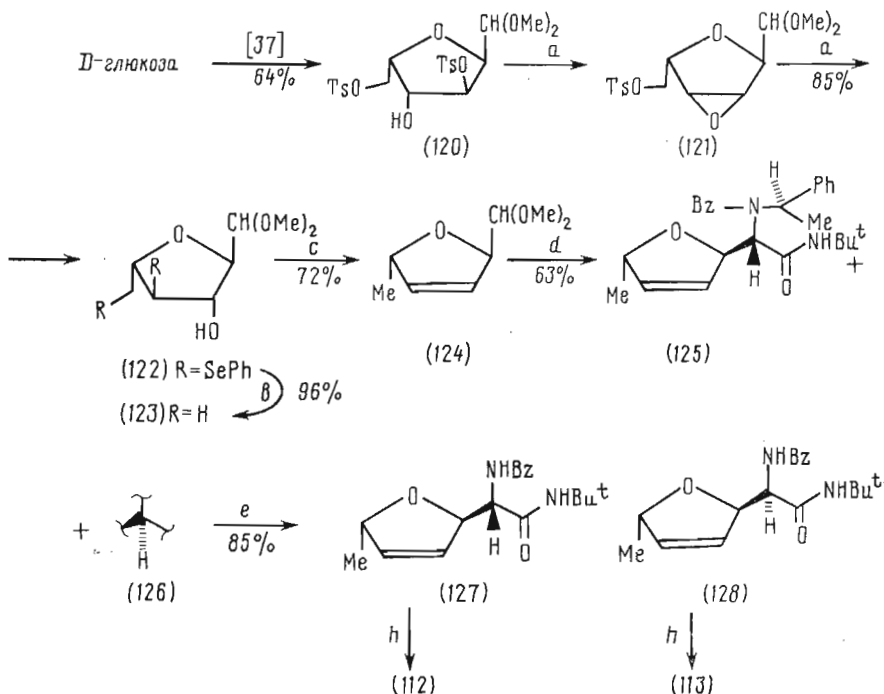
V.4. Синтез энантиомеров фураномицина

Новая аминокислота, обладающая антибиотическим действием, (+)-фураномицин (112), была выделена из культуральной жидкости *Streptomyces threomyceticus* [35]. На основании химической деградации и спектральных данных она была идентифицирована как α -(5-метил-2,5-дигидрофуран-2-ил)глицин, которому была приписана $\alpha R, 2R, 5S$ -конфигурация хиральных центров, хотя прямых рентгеноструктурных данных об абсолютной конфигурации фураномицина получено не было, они появились несколько позже [36]. Окончательно структура (+)-фураномицина была установлена стереонаправленным синтезом. Для этого был предпринят синтез всех четырех возможных 2,5-*цис*-диастереомеров фураномицина типа (116)–(119) из сильвана [37]. Сравнительное изучение спектральных свойств этих соединений, структурно близких 2,5-*цис*-дизамещенных дигидрофурана [38] и полученных из *D*-рибозы $\alpha R, 2R, 5R$ - и $\alpha S, 2R, 5R$ -изомеров фураномицина [39] позволило приписать фураномицину (112) стереохимическое состояние $\alpha S, 2R, 5S$. К настоящему времени из всех возможных стереоизомеров фураномицина серий *транс* ((112)–(115)) и *цис* ((116)–(119)) синтетическим путем получены производные (112)–(117) (о синтезе близких аналогов некоторых интермедиатов в синтезе фураномицина см. главу, посвященную синтезу полиоксинов).



Первый энантиоселективный синтез фураномицина был осуществлен в 1980 г. [37, 40] (схема 13). Стратегия синтеза этого соединения основана на первоначальном конструировании хирального 2,5-дигидрофурана из D-глюкозы и последующего введения оптически активного остатка α -аминоокислоты.

Схема 13



a) NaBH_4/DMF ; b) PhSeSePh ; c) TsCl/Py ; MeONa/MeOH ; d) TsOH , $\text{THF} - \text{H}_2\text{O}$; (+)-(*R*)- α -метилбензиламин; BzOH , Bu^tNC ; HCl ; e) 95% HCOOH ; h) 6 н. HCl .

В качестве исходного соединения на первом этапе синтеза был выбран фуран (120), получаемый в несколько стадий с выходом 64 % из D-глюкозы [41]. Это соединение непосредственно или через оксиран (121) обработкой избытком дифенилдиселенида в присутствии NaBH_4 (генерация фенилселенида натрия) переводили в диселенид (122), обработка которого никелем Ренея давала дезоксипроизводное (123). Введение двойной связи достигалось тозилированием с последующей щелочной обработкой промежуточного тозилата. В образовавшемся непредельном соединении (124) остается только построить боковую цепь, что было осуществлено известным методом [42].

Гидролиз ацетальной защиты в соединении (124) и обработка промежуточного альдегида 2 эквивалентами (*R*)-(+) -метилбензиламина, 1 эквивалентом бензойной кислоты и *трет*-бутилизоцианида приводят к аддуктам (125) и (126) в соотношении 1 : 1, которые были разделены хроматографически. Дебензилированием последних с хорошим выходом получены амины (127) и (128), гидролиз которых дает природный фураномицин (112) и его стереоизомер по α -углеродному центру (113).

Два других *транс*-стереоизомера фураномицина, (114) и (115), были получены из D-глюкозамина (129) (схемы 14 и 15) [43]. Дезаминирование амина (129) сопровождается перегруппировкой Демьянова и с хорошим выходом приводит к альдегиду (130), который далее переводился в диметилацеталь (131) и затем селективно тозилировался до (132). Восстановление тозилата (132), тозилирование диола (133) приводят к дитозилату (134), который известным методом [44] был превращен в олефин (135). Это соединение является энантиомером альдегида (124), использованного ранее в синтезе фураномицина (см. схему 13).

Схема 14

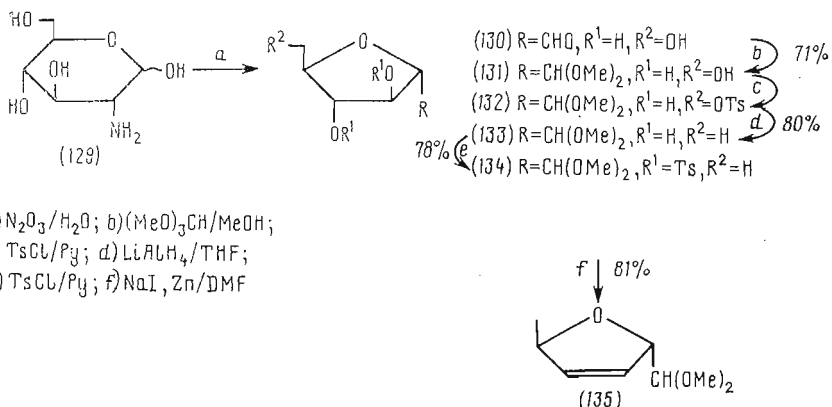
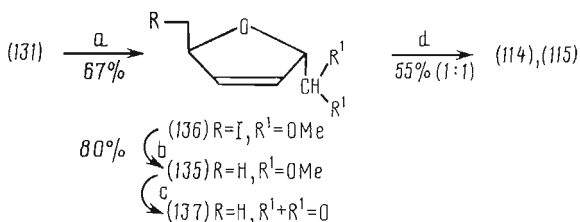


Схема 15



a) $\text{Ph}_3\text{P}, \text{I}_2, \text{ImH/PhH}$; b) $\text{LiAlH}_4/\text{Et}_2\text{O}$; c) $\text{TsOH}/\text{H}_2\text{O} - \text{THF}$.

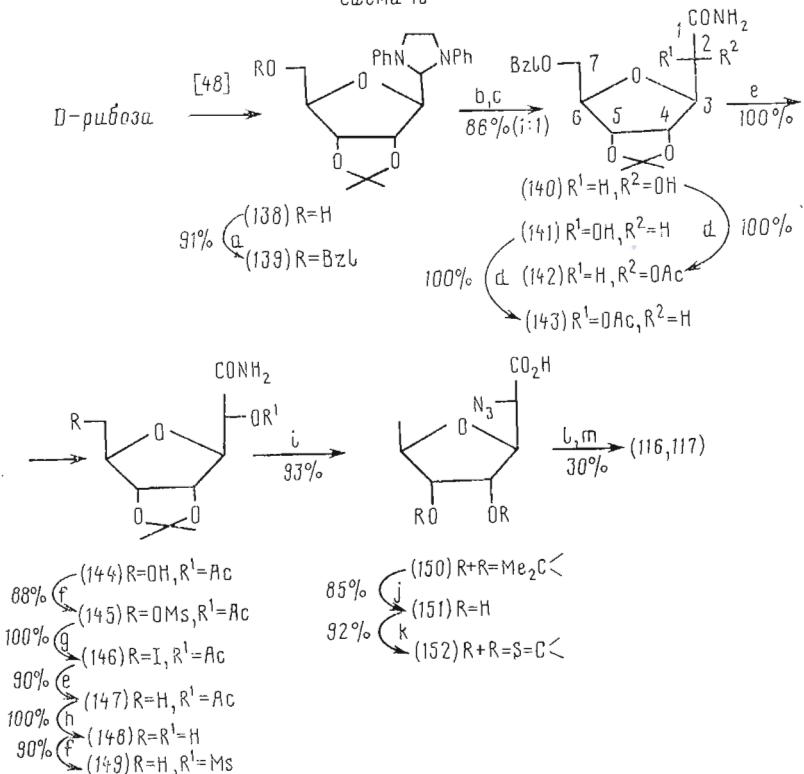
Более эффективный синтез интермедиата (135) был осуществлен с использованием методики Гарегга — Самуэлсона [45, 46]. Так, кипячение бензольного раствора ацетала (131) в присутствии Ph_3P , I_2 и имидазола сопровождается замещением первичной спиртовой группы на иод и образованием двойной связи. Выход олефина (136) при этом достигает 67%. Восстановлением его переводят в известный ацеталь (135) и далее в по-следовательности, описанной в схеме 13, в энантиомеры фураномицина (114) и (115).

Из серии цис-энантиомеров фураномицина стереоселективным методом из углеводов были получены производные (116) и (117) [39, 47] (схема 16). Исходным соединением здесь послужила D-рибоза, из которой было получено производное (138). Синтез последнего был уже рассмотрен нами в разделе, посвященном поликсинам [48]. Для осуществления перехода от соединения (138) к энантиомерам фураномицина (116) и (117) необходимо в нем дезоксигенировать первичную спиртовую группу, ввести двойную связь и построить конфигурацию α -центра.

На первом этапе после бензилирования гидроксильной группы при C5 образующееся производное (139) селективно гидролизуют по центру C1 без затрагивания кислотолабильной О-изопропилиденовой защиты. Промежуточный альдегид немедленно обрабатывают водным раствором NaCN и K_2CO_3 , затем перекисью водорода и получают смесь диастереомерных спиртов (140) и (141) в соотношении 1 : 1. Их хроматографическое разделение и последующее ацетилирование приводят к ацетатам (142) и (143), использованным далее в синтезе энантиомеров фураномицина (116) и (117) через серию стандартных превращений.

Так, гидрогенолиз ацетата (142) и мезилирование полученного спирта (144) дают мезилат (145), который через иодид (146) далее переводили в 7-дезоксипроизводное (147). Дезацетилирование последнего и замена в спирте (148) через мезилат (149) вторичной спиртовой группы на азидогруппу дают азид (150), который далее через диол (151) и производное (152) известным методом [49] переводили в промежуточный олефин, при этом азидогруппа также восстанавливалась до аминогруппы. Последующий щелочной гидролиз сложного эфира давал аминокислоту (116). Ана-

Схема 16



a) $BzL-Br$, NaH/DMF ; b) $TsOH/CH_2Cl_2 - Me_2CO$; c) $NaCN/K_2CO_3 - H_2O$; $H_2O_2 - H_2O$; d) Ac_2O/Py ; e) H_2 , $Pd/C - EtOH$; f) $MsCl/Py$; g) $NaI/EtCOMe$; h) $NH_3/MeOH$; i) LiN_3/DMF ; j) $H^+/MeOH$; k) Im_2CS/Me_2CO ; l) $(MeO)_3P$; m) $NaOH - H_2O$.

логичным путем был получен стереоизомер (117). Синтез D,L-фураномицина см. [50].

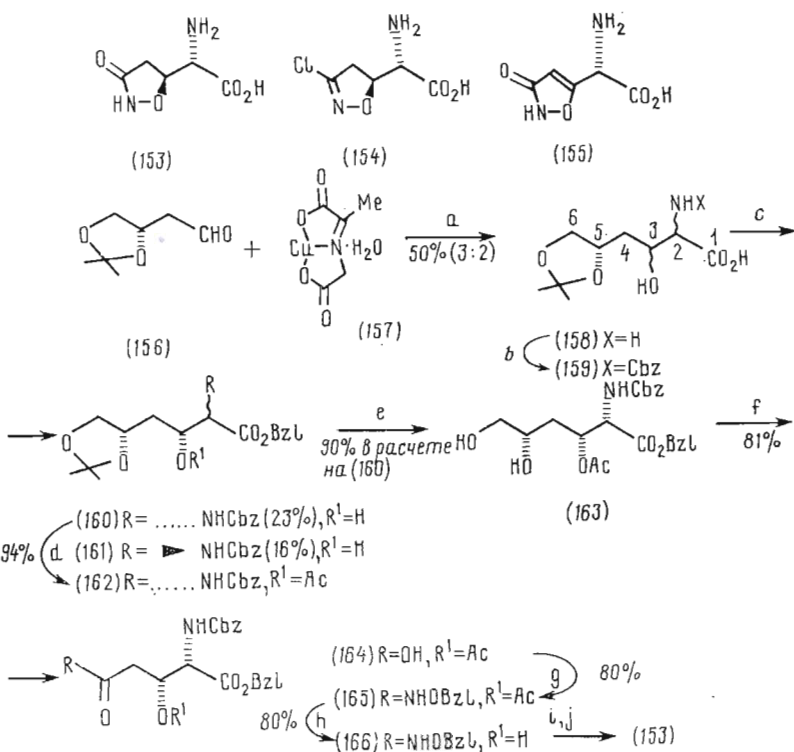
V.5. Синтез трихоломиновой кислоты

Необычная кислота, трихоломиновая (153), была выделена из *Tricholoma muscarium* [51, 52]. Структурно и стереохимически она близка противораковому антибиотику ацивитину (154), его 4-гидроксианалогу и иботеновой кислоте (155). В связи с этим в стратегии синтеза этих соединений наблюдается много общего, и разработка схем получения одного из них может служить основой для синтеза другого. Поэтому необходимо отметить те работы, которые так или иначе связаны с синтезом соединений (153)–(155). Несколько ранних работ было посвящено синтезу трихоломиновой кислоты и ее аналогов из α -аминокислот [53, 54]. Полученные производные оказались мощными и селективными ингибиторами ферментативных превращений глутаминовой кислоты.

Большая серия работ посвящена получению ацивитина. Его синтезировали в основном 1,3-диполярным циклоприсоединением окисей нитрилов к непредельным соединениям [55], в том числе к винилглицину [56–59], и другими методами [60–63], причем большинство из этих синтезов нестереоспецифично.

Общая стратегия синтеза трихоломиновой кислоты (153) и ацивитина в оптически чистом виде была предложена недавно и основана на использовании производных углеводов [64] (схема 17). Исходными соединениями в этом синтезе послужили альдегид (156), получаемый из S-яблочной кислоты в три стадии с выходом 80% [65], и N-пирувилденглициновый комплекс меди (157), упоминавшийся нами ранее в связи с синтезом полиоксиаминонокислот. Их взаимодействие при pH 9,8 дает диастереомерную смесь

Схема 17



a) $\text{NaOH} - \text{H}_2\text{O}$ (pH 9,8); b) $\text{N-Cbz-сукцинимид/DMF}$; c) $\text{BzL-Br/Et}_3\text{N}$; d) $\text{Ac}_2\text{O/Py}$; e) $\text{AcOH} - \text{H}_2\text{O}$; f) $\text{NaIO}_4 - \text{KMnO}_4/\text{Me}_2\text{CO} - \text{H}_2\text{O}$; g) H_2NOBzL , 1-этил-3-(3-диметиламинопропил)карбодиимид·гидрохлорид, DMAP; h) LiOBzL/THF ; i) MsCl/Py ; j) H_2 , Pd/C , Et_3N .

кислот (158), которую переводят в N-Cbz-производные и далее делят хроматографически в виде бензиловых эфиров (160) и (161). Соотношение последних составило 3 : 2. Как видно из схемы, диастереофасная селективность процесса конденсации альдегида (156) и медного комплекса (157) (3,5-син-продукты) очень высока, в то время как простая селективность, отражающая соотношение стереоизомеров по центрам C2 и C3, сравнительно низка.

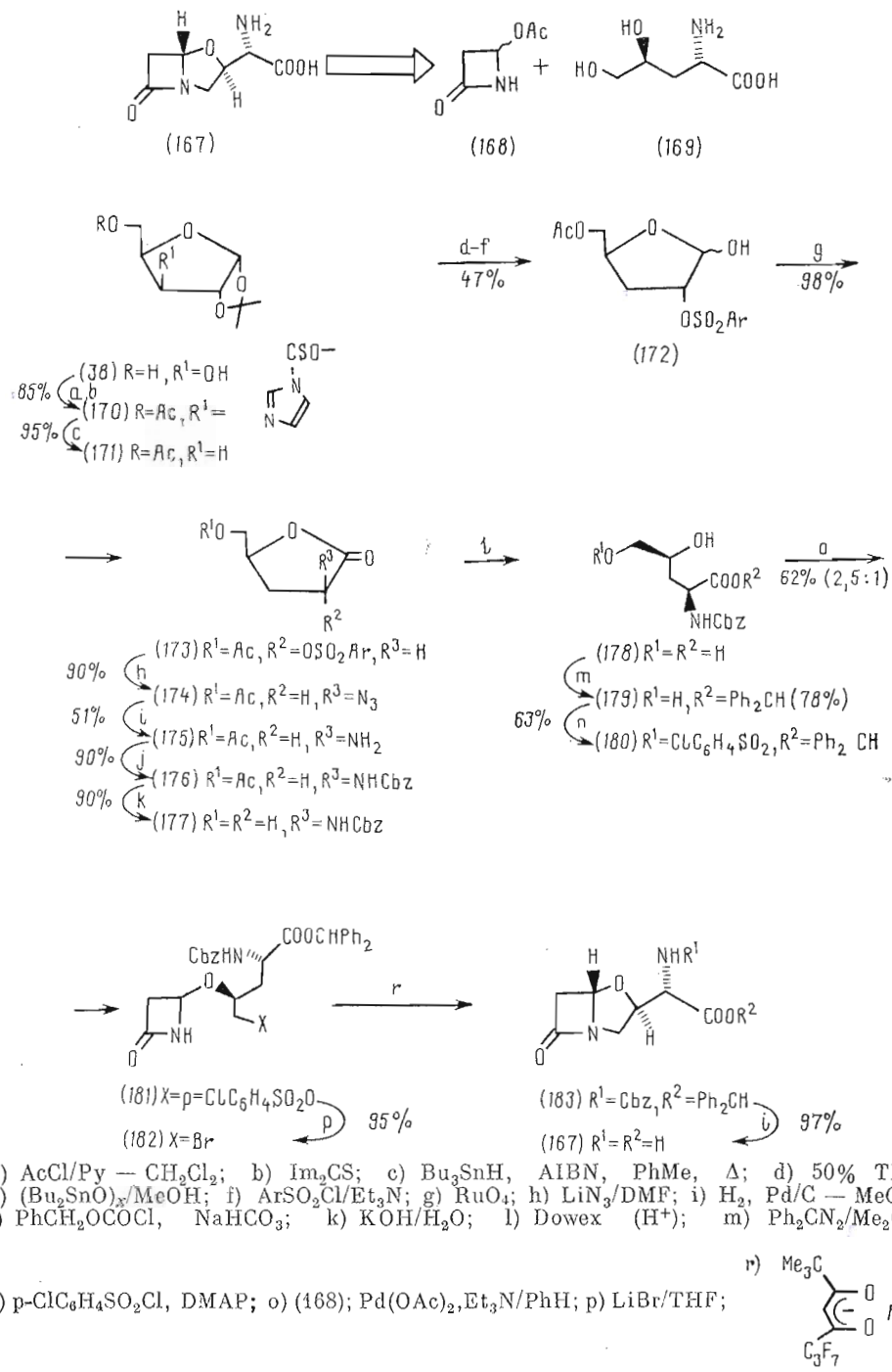
Главный изомер (160), обладающий нужной конфигурацией центра C2 и обратной, изменяемой на последних стадиях синтеза, конфигурацией центра C3, ацетилируют до производного (162), снимают ацетальную защиту и с выходом на две стадии, равным 90%, получают диол (163). Окислительное расщепление диольной системы в соединении (163) приводит к кислоте (164), которая содержит все функциональные группы в пятиуглеродной цепи и необходимую для дальнейшего синтеза конфигурацию хиральных центров. Нужно обратить внимание на примененный в этой работе тактический ход, иногда используемый в сложных стереонаправленных синтезах,— первоначальное наведение оптической активности на центры C2 и C3 с помощью хиральности центра C5, последующее уничтожение хиральности этого центра и создание по этому атому углерода необходимой для дальнейшего синтеза функции.

Производное (164) далее было превращено в O-бензилгидроксамат (165), дезацетилирование последнего дает спирт (166), который в соответствии с ранней работой [66] превращался в мезилат; внутримолекулярное замещение мезилоксигруппы в нем проходит с обращением конфигурации центра C3 и после гидрогенолитического снятия бензильной защиты приводит к целевому продукту — трихоломиновой кислоте (153), из которой, очевидно, может быть легко получен ацивитин (154).

V.6. Синтез клаваланина

Среди соединений, продуцируемых *Streptomyces clavuligerus*, недавно была обнаружена необычная аминокислота, названная клаваланином (соединение (167), схема 18). На основании совокупности методов анализа для этого соединения была установлена структура 3-((3*S*,5*S*)-7-оксо-1-аза-4-оксабицикло(3.2.0)гепт-3-ил)-*L*-аланина [67—69]. Значительное стереохимическое отличие от β -лактамов, продуцируемых *S. clavuligerus*, вероятно, может объяснить тот факт, что это соединение не обладает антимикробной активностью, свойственной другим β -лактамам, а также не является ни ингибитором, ни субстратом β -лактамазы.

Схема 18



Ретросинтетический анализ молекулы клаваланина [70] позволил заключить, что наилучший предшественник для построения β -лактамной части молекулы (167) — 4-ацетоксимазетидинон (168), а пятиуглеродного фрагмента (169) — D-ксилоза. Для перехода от D-ксилозы к фрагменту (169) необходимо лишь ввести дезоксиево по центру C3 и осуществить замещение гидроксила при C2 на аминогруппу с обращением конфигурации.

Селективное ацетилирование 1,2-O-изопропилиден- α -D-ксилофуранозы (38) и последующая реакция с тиокарбонилдиimidазолом дают производное (170), которое по Бартону [71] было дезоксигенировано до 3-дезоксифуранозида (171). Таким образом, была решена первая задача — введено дезоксиево по C3 молекулы D-ксилозы.

Следующий этап синтеза заключается во введении аминогруппы по C2 с обращением конфигурации этого центра, что было выполнено стандартным путем. Гидролиз 1,2-O-изопропилиденовой защиты в производном (171) и обработка образующегося диода дигидрололовооксидом приводят к соответствующему 1,2-O-дигидролистанниленовому производному [72]. Неэквивалентный характер связей Sn—O в этом интермедиате обуславливает то, что при его обработке арилсульфохлоридами в присутствии Et₃N образуются с высоким выходом 2-O-сульфонаты (172), которые легко окисляются в лактоны (173). Как отмечалось в случае синтеза стрептолидина (см. раздел V.1), соседство с карбонильной группой и отсутствие заместителя при C1 в значительной мере облегчает нуклеофильное замещение арилсульфонилоксигруппы на азидогруппу. Действительно, азид (174) был получен с выходом 90%. Переход от азида (174) к производному (177) тривиален (схема 18).

Раскрытие лактонной группировки в производном (177), защита карбоксильной и первичной спиртовой групп в соединении (178) приводят к производному (180), которое конденсируют с синтоном (168). Получают смесь диастереомерных по новому хиральному центру продуктов в соотношении 2,5 : 1 ((181) + диастереомер), которую далее переводят в бромиды (182). При реакции последних с растворимым комплексом серебра происходит внутримолекулярное N-алкилирование и образуется защищенная аминокислота (183), которая легко очищается хроматографией от другого стереоизомера. Гидрогенолиз этого соединения дает клаваланин (167), идентичный по всем характеристикам природному образцу.

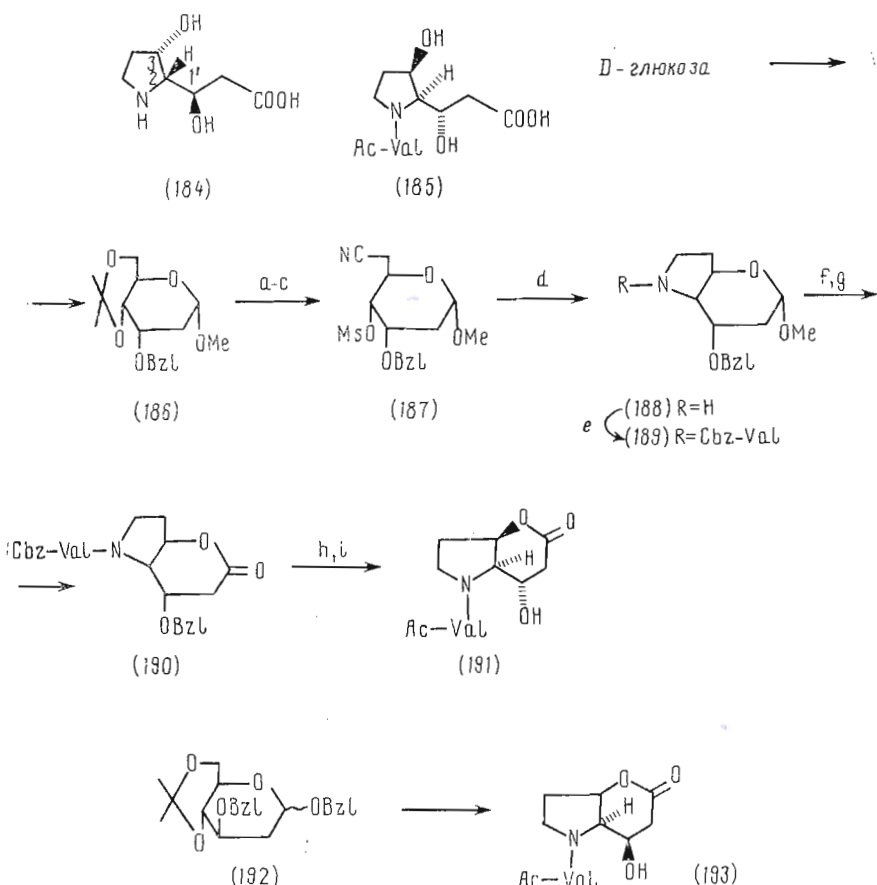
V.7. Синтез стереоизомеров детоксинина

В 1972 г. среди метаболитов *Streptomyces caespitosus* var. *detoxicus* был обнаружен комплекс депептидов, наиболее активным среди которых оказался детоксин D₁ [73]. Все соединения этого комплекса являются селективными антагонистами бластицидина и поэтому представляют значительный интерес для детоксикации этого антибиотика как в животных, так и в растительных клетках. В составе детоксина D₁ были обнаружены L-валин, L-фенилаланин и неизвестная аминокислота, названная детоксинином. На основании изучения спектров ПМР и кругового дихроизма последнему соединению была приписана стереоструктура (184). Однако изучение биосинтеза этой необычной аминокислоты [74] показало, что он, как и в случае других родственных аминокислот [75], проходит через L-пролин, и, следовательно, стереоструктура кислоты должна быть противоположной, что и было подтверждено позже стереонааправленным синтезом двух стереоизомеров — N-L-валилдетоксинина ((185) и (195)) из D-глюкозы [76] (схема 19).

Исходными соединениями в этом синтезе послужили 2-дезоксирианозиды (186) и (192), легкодоступные соединения из D-глюкозы [77, 78]. Удаление O-изопропилиденовой защиты, мезилирование диола и взаимодействие промежуточного димезилата с NaCN дают нитрил (187).

Критической стадией в этом синтезе является образование пирролидинового цикла, которое удалось эффективно провести восстановлением

Схема 19



цианосульфоната (187) NaBH_4 в присутствии CoCl_2 с последующей щелочной обработкой. Необходимо отметить, что подобная восстановитель-

Дальнейшие операции при переходе от производного (188) к N-валил-детоксинину (191) обычны для химии углеводов и аминокислот и не вызвали каких-либо затруднений. N-Ацилирование соединения (188), гидролиз гликозидной связи, облегченный в данном случае 2-дезоксиленом, окисление образующегося полуациетального центра приводят к лактону (190). Наконец, гидрогенолитическое отщепление защитных групп в последнем и селективное N-ацетилирование дают соединение (191), идентичное ранее выделенному из щелочного гидролизата детоксина D₁ [73]. Аналогично из гликозидов (192) был получен 1'-стереоизомер (193).

Таким образом, на основании проведенных исследований этой редкой аминокислоте можно приписать строение $(2S,3R,1'S)-2-(2'-\text{карбокси}-1'-\text{гидроксиэтил})-3-\text{гидросицирролидина}$.

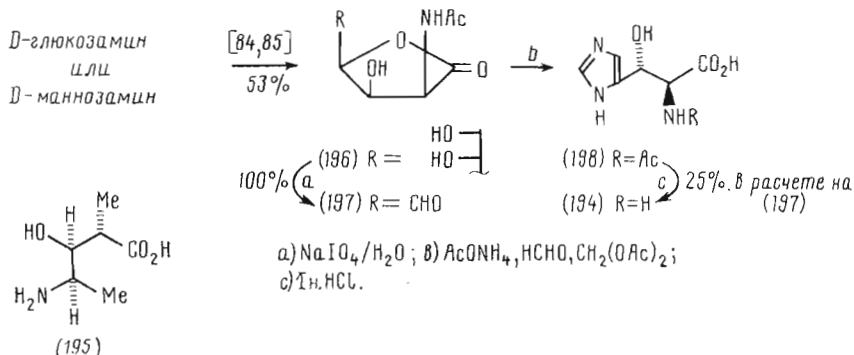
Позже были осуществлены синтезы рацемического детоксинина [79], $(-)$ -детоксинина из $(2S)$ -2-амино-4-пентеновой кислоты (*L*-аллилглицин) [80] и стереоселективным эпоксидированием непредельных аминоспиртов [81].

V.8. Синтез редких аминокислот, выделенных из блеомицина

Блеомицины представляют собой большую группу терапевтически важных пептидных антибиотиков, обладающих противораковой активностью. Впервые они были выделены из культуральной жидкости *Streptomyces*-

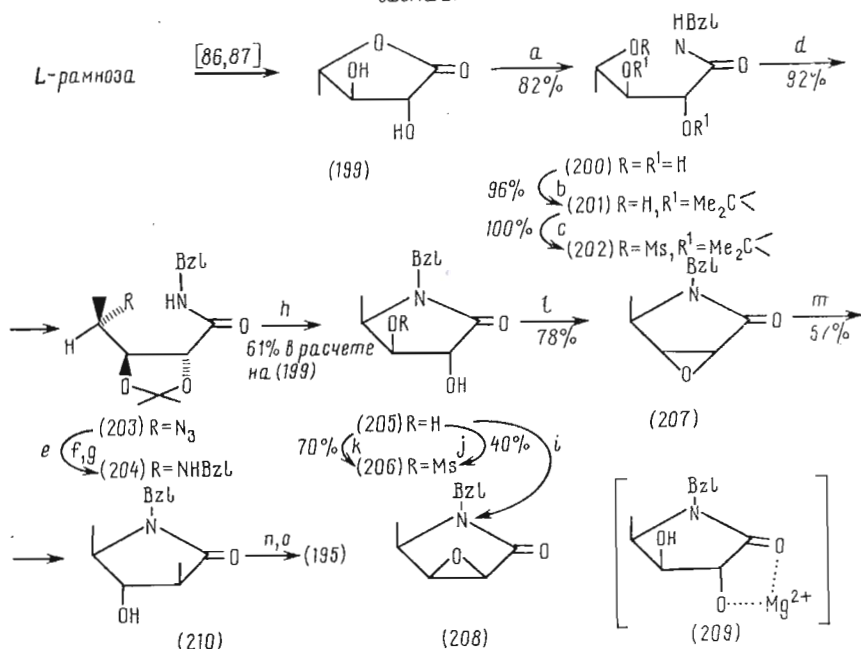
L-myces verticillus [82]. В их состав входят две редкие аминокислоты — *L*-эритро- β -гидроксигистидин (194) и (2*S,3S,4R*)-2-амино-3-гидрокси-4-метилпентановая кислота (195) (схема 20), синтез которых был осуществлен из углеводов.

Схема 20



Исходным соединением в синтезе β -гидроксигистидина (194) послужил *D*-глюкозамин [83], который известным методом [84, 85] переводился в маннолактон (196). Последнее производное может быть также получено в одну стадию из доступного *D*-маннозамина [86]. Периодатное расщепление диольной группировки в производном (196) приводит к альдегидолактону (197), сольволиз которого в ацетате аммония в присутствии формальдегида и ацетата меди с последующим дезацетилированием дает гистидин (194). Аналогично из 2-ацетамидо-2-дезокси-*D*-глюконо-1,4-лактона [87], отличающегося от соединения (196) только конфигурацией центра, несущего ацетамидную группу, был получен *D*-*treo*- β -гидроксигистидин [83]. Энантиоселективный синтез гистидина (194) из аминокислот см. в работе [88].

Схема 21



а) BzLNH_2 , $\text{Pr}_2^t\text{NEt}/\text{MeOH}$; б) Me_2CO , TsOH ; в) MsCl/Py ; г) $\text{NaBH}_4/\text{EtOH}$; д) NaN_3/DMF ; е) H_2 , Pd/C ; ф) PhCHO ; г) $\text{NaBH}_4/\text{EtOH}$; и) HCl/MeOH ; и) MsCl , NaH/THF ; и) $\text{Bu}^t\text{Li}/\text{Et}_2\text{O}$ — THF (1; 1), MsCl ; к) $\text{Me}_2\text{CHMgBr}/\text{THF}$, MsCl ; л) $\text{Bu}^t\text{OK}/\text{THF}$; м) $\text{Me}_2\text{CHLi}/\text{Et}_2\text{O}$; н) Na/NH_3 ; о) 2 Н. HCl .

В синтезе аминокислоты (195) [89] исходным соединением послужил 5-дезокси-L-арабино-1,4-лактон (199), синтезированный из L-рамнозы [90, 91] (схема 21). Обработка лактона (199) бензиламином, последующее ацетонирование и мезилирование с высоким общим выходом приводят к мезилату (202), который известным методом далее был переведен в азид (203) с обращением конфигурации этого центра. Восстановительное аминирование бензальдегида амином, образующимся промежуточно из азида (203), приводит к N-бензиламину (204). Обработка последнего кислотой дает с выходом 61%, считая на лактон (199), важное промежуточное производное — лактам (205), для перехода от которого к целевому соединению (195) остается лишь ввести метильную группу по центру C2 и изменить конфигурацию центра C3. Это было осуществлено одновременно — раскрытием промежуточного эпоксида (207).

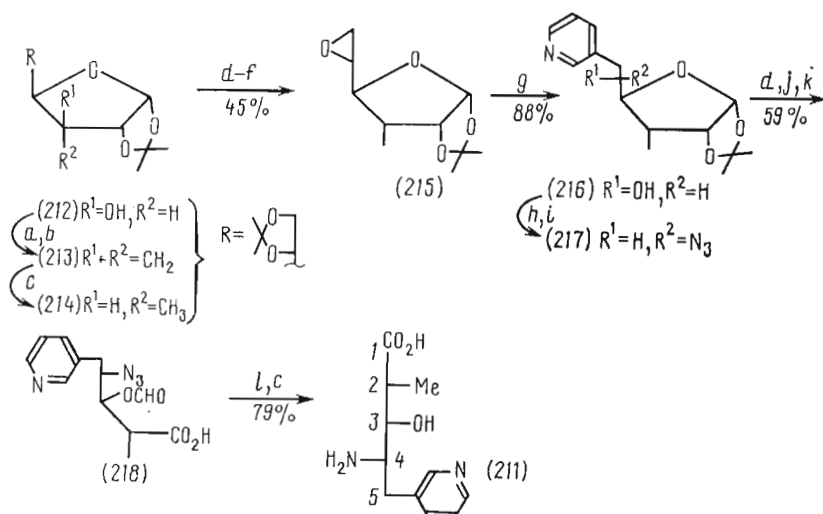
Попытка получить оксиран (207) прямым путем из (205) (MsCl , NaNH) приводила к образованию изомерного эпоксида (208), что связано с первоначальным мезилированием более кислого гидроксила при C2. Альтернативное мезилирование лактама (205) было осуществлено с использованием бутиллития и последующей обработкой мезилхлоридом. Лучшие результаты были получены при применении алкоголятов магния. Большая селективность в мезилировании гидроксигруппы при C3 здесь, вероятно, достигнута за счет дезактивации гидроксигруппы при C2 вследствие координации иона магния с карбонилом при C1, как это показано для соединения (209).

Полученный этим методом мезилат (206) был превращен в оксиран (207), раскрытие которого диметиллитиймедью преимущественно проходит по C2 без затрагивания лактона и дает производное (210), которое после дебензилирования и гидролиза было превращено в кислоту (195).

V.9. Синтез (*2R, 3S, 4S*)-4-амино-3-гидрокси-2-метил-5-(3-пиридилил)-пентановой кислоты — компонента пиридомицина

Пиридомицин, продуцируемый *Streptomyces pyridomyceticus* [92], обладает антимикробной активностью [93]. Наряду с (*Z*)-2-оксо-3-метилпент-2-еновой кислотой и L-тронином он содержит в своем составе остаток (*2R,3S,4S*)-4-амино-3-гидрокси-2-метил-5-(3-пиридилил)пентановой кислоты (211). Последнее производное было выделено из продуктов деградации пиридомицина [94], его структура была однозначно установлена рентгеноструктурным анализом исходного антибиотика [95].

Схема 22



- a) $\text{DMSO} \rightarrow \text{Ac}_2\text{O}$; b) $\text{Ph}_3\text{P} = \text{CH}_2$; c) H_2 , Pd/C ; d) $\text{AcOH} \rightarrow \text{H}_2\text{O}$; e) TsCl/Py ;
 f) MeONa/MeOH ; g) 3-Li-Py ; h) MsCl/Py ; i) NaN_3/DMSO ; j) NaIO_4 ; k) Br_2/AcOH ;
 l) HCl , H_2O — диоксан.

Регио- и стереоселективный синтез кислоты (211) был осуществлен Киношитой и сотр. [96] из диацетонглюкозы (212) (схема 22). Ретросинтетический анализ целевой молекулы (211) показывает, что углеродная цепь этой пентановой кислоты предельно насыщена заместителями разнообразной природы (метил, гидроксил, аминогруппа, 3-пиридинил), поэтому представить себе исходный сахар, из которого может быть получена исходная кислота, довольно трудно. Вероятно, за основу можно взять центр С3, несущий в кислоте (211) гидроксильную группу и обладающий D-конфигурацией. Очевидно также, что этот сахар должен быть гексафуранозой с D-конфигурацией центра С5 (будущий центр С3 в аминокислоте (211)), так как в этом случае гидроксильная группа при С3 будет маскирована до нужного момента участием в образовании пятичленного цикла. Соседнюю гидроксильную группу при С5 исходного сахара можно будет легко заменить на аминогруппу с обращением конфигурации этого центра ($D \rightarrow L$). Примеры такого превращения были неоднократно продемонстрированы выше. Совокупность этих данных и некоторые другие причины привели авторов работы [96] к наиболее идеальному в данном случае исходному веществу — диацетонглюкозе (212), получаемой из D-глюкозы в одну стадию с выходом более 70% [97].

Фураноза (212) известным методом через метиленовое производное (213) была превращена в 3-C-метилпроизводное (214) [98]. Селективное удаление 5,6-O-изопропилиденовой группы, последующее избирательное тозилирование первичной гидроксильной группы в промежуточном диоле и обработка образующегося монотозилата основанием приводят к оксирану (215), который селективно раскрывается 3-пиридиниллитием по С6, что дает с хорошим общим выходом фуранозу (216). В этом соединении построена конфигурация двух из трех хиральных центров и расставлены заместители при трех атомах углерода.

Для завершения синтеза в молекуле (216) остается заменить гидроксильную группу при С5 на аминогруппу с обращением конфигурации этого центра и укоротить цепь по связи С1—С2 на одно углеродное звено. Выполнено это было стандартным методом. Так, мезилирование свободной гидроксильной группы в производном (216) и обработка образующегося мезилата азидом натрия дают азид (217). Снятие 1,2-O-изопропилиденовой группы кислотным гидролизом, периодатное окисление диольной системы и последующее окисление промежуточного альдегида приводят к кислоте (218), которая после снятия О-формильной группы и восстановления азива была переведена в исходную кислоту (211).

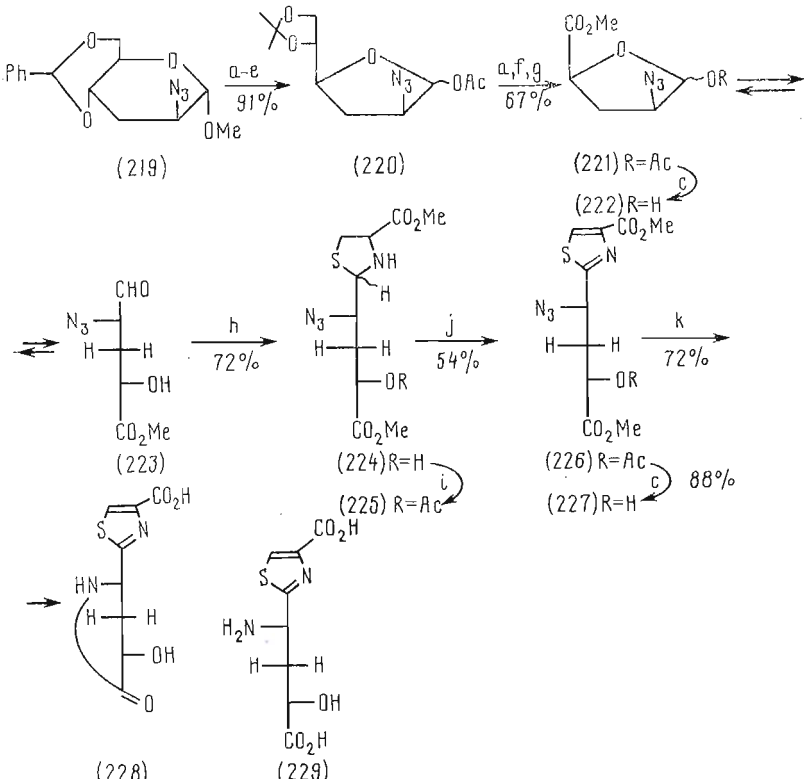
В последующих работах Киношиты и сотр. были получены другие фрагменты пиридомицина на основе углеводов [99, 100] и предприняты попытки его полного стереоселективного синтеза, которые, однако, пока не увенчались успехом [101].

V.10. Синтез (1S, 3S)-2-(1-амино-3-карбокси-3-гидроксипропил)-тиазол-4-карбоновой кислоты из антибиотика носигептида

Среди фрагментов кислотного гидролизата полипептидного антибиотика носигептида (nosiheptide) был найден фрагмент D (229) (схема 23), которому на основании спектральных данных была приписана структура (1S, 3S)-2-(1-амино-3-карбокси-3-гидроксипропил)тиазол-4-карбоновой кислоты [102, 103].

Синтез ее лактамной формы (228) можно разделить на два этапа: конструирование тиазолидинового кольца, осуществленное по известной аналогии [104] и создание боковой цепи из подходящего производного сахара. В синтезе фрагмента D, предпринятого группой японских авторов [105], исходным соединением послужил известный азид (219) [106]. Снятие О-бензилиденовой защиты и другие простые операции, показанные на схеме (а—е), с высоким выходом приводят к фуранозиду (220), который после снятия О-изопропилиденовой группы и расщепления диольной системы в условиях [107] обработкой диазометаном переводился в эфир (221). Необходимо отметить, что производное, близкое по структуре ве-

Схема 23



:a) AcOH — H₂O; b) Ac₂O, H₂SO₄; c) MeONa/MeOH; d) Me₂CO, CuSO₄, TsOH;
 :e) Ac₂O/Py; f) [103]; g) CH₂N₂; h) L-Cys-OMe; i) Ac₂O, AcOH; j) MnO₂/PhH; k) Ni-Ra/MeOH.

ществу (221), было получено в синтезе клаваланина (см. раздел V.6). Снятие О-ацетильной группы в эфире (221) и конденсация равновесной смеси продуктов (222) и (223) с метиловым эфиrom L-цистеина приводят к смеси тиазолидиновых производных (224), разделенных хроматографически. Селективное О-ацетилирование последних дает ацетаты (225), обработка которых активированной двуокисью марганца приводит к тиазолу (226), переведенному далее в кристаллический продукт (227). Его катализическое восстановление дает лактам (228), стереохимически полностью соответствующий природной кислоте (229).

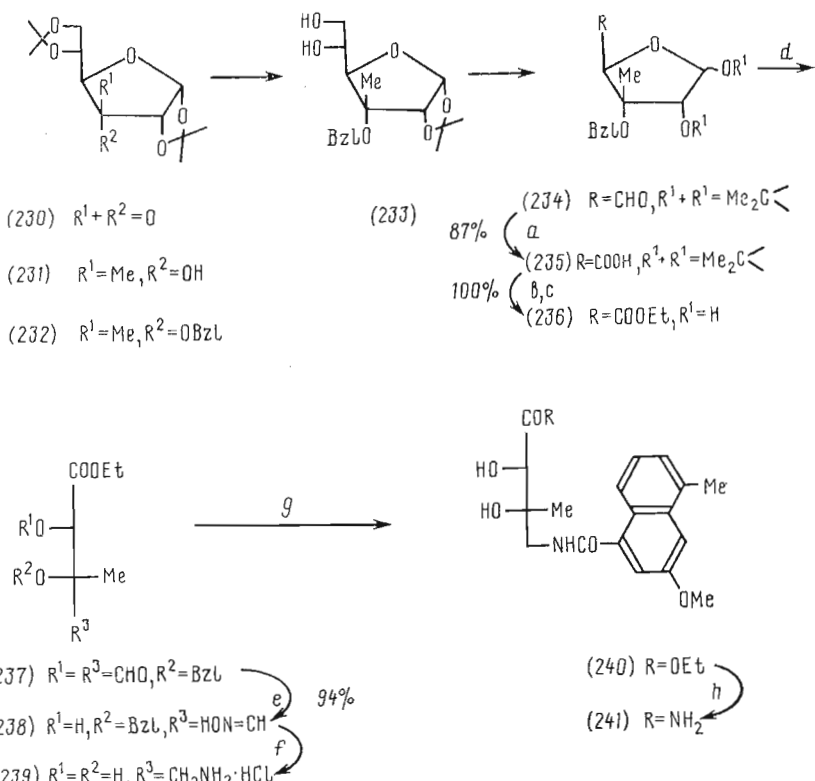
V.11. Синтез карцинофилина

Карцинофилин (carzinophilin), продуцируемый *Streptomyces sahachicoi*, стал первым природным интеркалирующим и благодаря наличию двух азиридиновых циклов бис-алкилирующим антибиотиком с потенциальной противораковой активностью [108]. Его структура была окончательно установлена спектральными методами [109]. Из синтетических работ в этой области известна пока одна [110], посвященная синтезу необычной γ -аминокислоты (241), являющейся C1—C18-фрагментом антибиотика.

Исходным соединением в этом синтезе послужил альдегид (234), получаемый с хорошим общим выходом из D-глюкозы по пути, показанному на схеме 24 [111]. Его окисление по Джонсу приводит к кислоте (235), а ее этерификация с последующим гидролизом — к фуранозиду (236). Последний без особой очистки подвергают периодатному окислению, образующийся альдегид (237) обрабатывают гидроксиламином и после восстановления оксима (238) получают амин (239). Его ацилирование хлорангидридом 2-метокси-8-метилнафтил-4-карбоновой кислоты, также полученным в данной работе, приводит к производному (240), из которого

далее был получен амид (241). Как видно, этот фрагмент был получен по-весьма эффективной схеме с относительно небольшим количеством сравнительно простых превращений и высоким общим выходом.

Схема 24



a) $CrO_3 \cdot Py/Me_2CO$; b) $HCl/EtOH$; c) $AcOH - H_2O$; d) $NaIO_4/MeOH - H_2O$;
e) $NH_2OH \cdot HCl/Py$; f) $HCl/EtOH$; f) $Pd/C, EtOH - HCl, H_2$ (130 atm);
g) $RCOCl/Et_3N - CH_2Cl_2$; h) $NH_3/EtOH - H_2O, NH_4Cl$.

V.12. Синтез негамицина

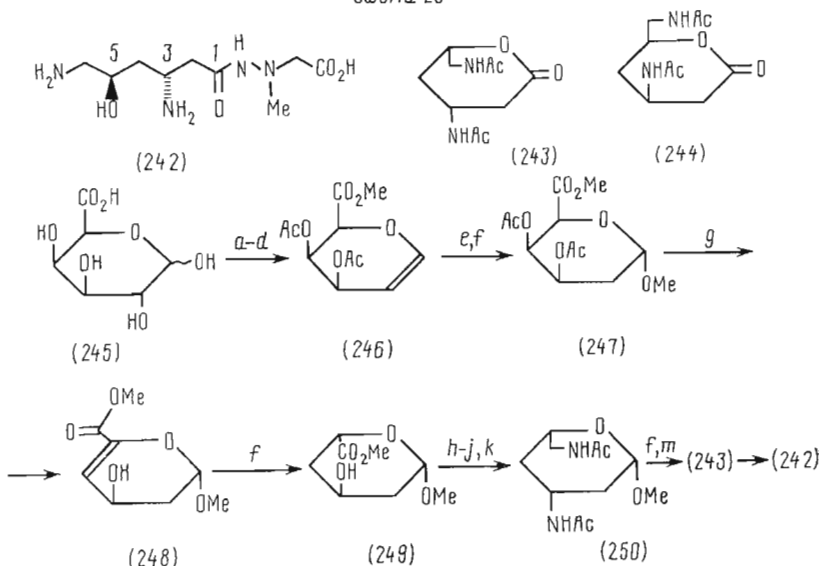
Негамицин ($(2-(3R,5R)-3,6\text{-диамино}-5\text{-гидроксигексаноил-}1\text{-метилгидразиноуксусная кислота}$) (242) содержит в своем составе необычную аминокислоту — δ -гидрокси- β -лизин. Он продуцируется *Streptomyces rigeoefusens* и другими микроорганизмами [112]. Антибиотик обладает малой токсичностью и хорошей активностью против грамотрицательных бактерий, включая и стафилококки. По механизму действия негамицин подобен большинству аминогликозидных антибиотиков, он ингибирует синтез белка и нарушает считывание генетического кода.

Структура негамицина была окончательно установлена в 1971 г., тогда же был осуществлен его частичный синтез [113]. На основании сравнения спектральных данных новой кислоты, выделенной из антибиотика в форме лактона (243), и его антидопа (244), полученного из 3-амино-3-дезокси-D-глюкозы [113], ей было приписано строение $(3R,5R)$ -3,6-диамино-5-гидроксигексановой кислоты. Немного позже этой же группой авторов был осуществлен и синтез природного изомера лактона (243) из D-галактуроновой кислоты [114] (схема 25).

Петросинтетический анализ лактона (243) показывает, что для его синтеза из D-галактуроновой кислоты необходимо последнюю дезоксигенировать по центрам C2 и C4 и изменить конфигурацию центра C5, после чего ввести две аминогруппы по центрам C3 и C6 с одновременным обращением первого из них.

Дезоксигенирование гексапираноз по центру C2 проще всего провести через промежуточный гликаль (246), который был получен из D-галакту-

Схема 25



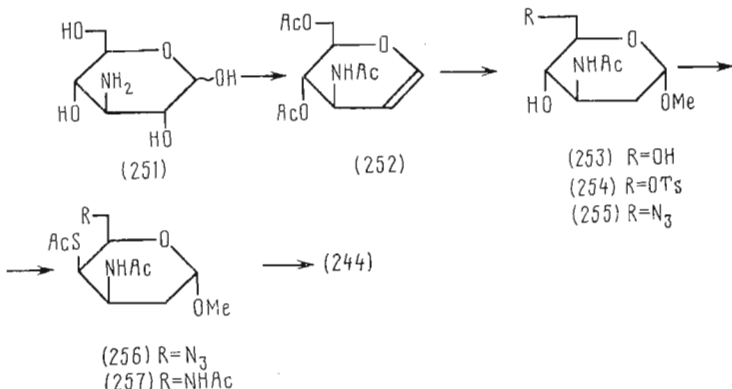
a) HCl/MeOH; b) Ac₂O, HCl; c) HBr/AcOH; d) Zn/AcOH; e) I₂, AgOAc/MeOH; f) H₂, Pd/C; g) MeONa/MeOH; h) LiAlH₄; i) MsCl/Py; j) NaN₃/DMF; k) Ac₂O/Py; l) H₃O⁺; m) Br₂/H₂O.

роновой кислоты (245) стандартным для химии углеводородов путем [115, 116]. Метанолиз кислоты (245) дает соответствующий метилгликозид, который ацетилировали и далее переводили в ацилгалогенозу. Обработка последней цинковой пылью в AcOH с хорошим общим выходом приводит к гликалю (246). Взаимодействие гликаля (246) с иодом в метаноле при катализе ацетатом серебра с последующим гидрогенолизом промежуточных иодидов также проходит с хорошим общим выходом и дает 2-дезокси-гликозид (247). Задача введения второго дезоксизвена по центру C4 и обращения конфигурации центра C5 в молекуле (247) решалась одновременно по известному методу [117] путем последовательной элиминации заместителя при C4 при обработке гликозида (247) основаниями и последующего гидрирования двойной связи в промежуточно образующемся α,β -непредельном эфире (248). Благодаря стереоконтролю аномерной метоксильной группы при C1 гидрирование двойной связи проходит преимущественно с *экзо*-стороной и приводит с выходом 60% к производному (249). Это соединение может быть также получено из метил- α -L-арабино-фуранозида [118, 119].

Последовательное восстановление сложноэфирной группы, мезилирование промежуточного диола, обработка димезилата азидом натрия, гидрирование образовавшегося диазида и ацетилирование дают диацетаминогликозид (250). После гидролиза гликозидной связи, облегченного в данном случае благодаря наличию 2,4-дидезоксизвеньев, и окисления промежуточного лактоля по C1 раствором брома в воде был получен кристаллический лактон (243), по всем данным идентичный природному.

Антагонист лактона (243), соединение (244), был получен по аналогичной методике из 3-амино-3-дезокси-D-глюкозы (схема 26). В этом случае не нужно было менять конфигурацию центров C3 и C5, вводить аминогруппу по центру C3, поэтому синтез выглядит значительно проще. Дезоксизовано по центру C2 в молекулу (251) вводилось аналогично гликальным методам [115, 116], что привело с хорошим выходом к 2-дезоксигликозиду (253). Стандартным путем первичная спиртовая группа в (253) через тозилат (254) была замещена на азидогруппу (255). Мезилирование свободного гидроксила в последнем и обработка мезилата тиоацетатом калия приводит к тиопроизводному (256), десульфирование которого никелем Ренея дает 2,4-дезокси-3,6-диаминогликозид (257). Последний аналогично предыдущему был переведен в лактон (244).

Схема 26



Из лактонов (243) и (244) были получены негамицин и его антипод. Интересно, что природный изомер оказался на один-два порядка более активным по отношению к некоторым видам бактерий. Недавно сообщалось о синтезе (+)-негамицина из (+)-3-амино-5-оксо-6-хлоргексановой кислоты [120] и (+)-изомера из (*R*)-яблочной кислоты [121].

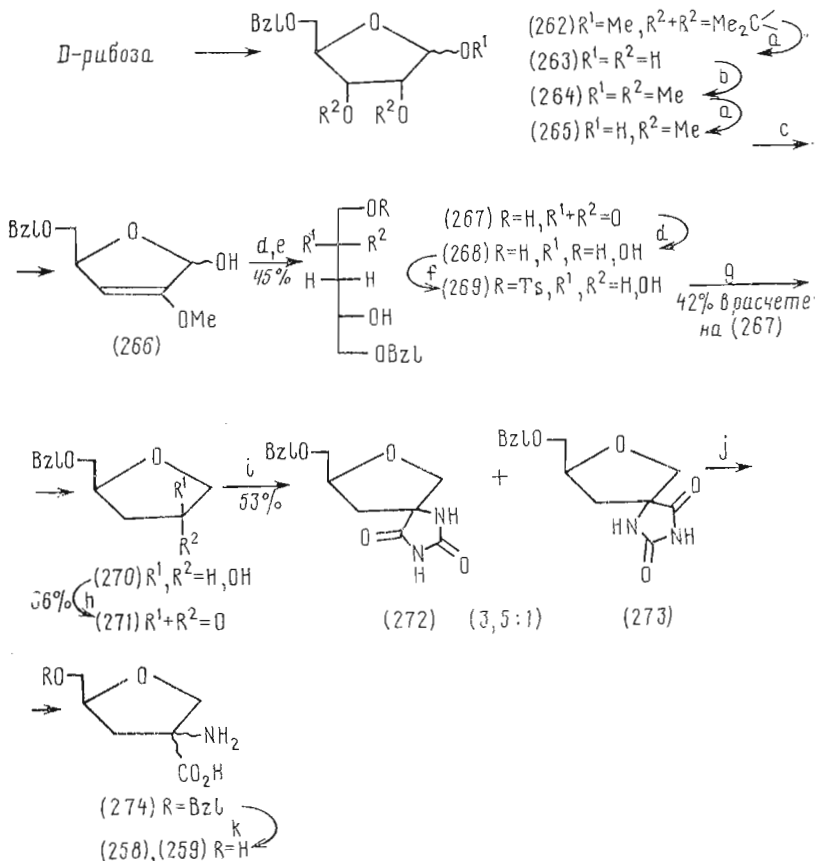
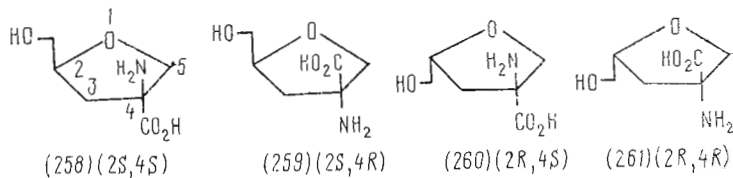
V.13. Синтез всех энантиомеров 2-гидроксиметил-4-амино-4-карбокситетрагидрофурана

Из кислотного гидролизата мочи диабетиков была выделена необычная аминокислота (258), причем позже было показано, что она может образовываться при совместном кислотном гидролизе гексоз и мочевины [122]. Абсолютная конфигурация этой кислоты была установлена синтезом из *D*-рибозы (схема 27). Использование этого сахара позволяет сразу иметь необходимую *S*-конфигурацию центра C2 в будущем тетрагидрофурановом производном (258) с требуемой функционализацией заместителей при нем. Поэтому основные преобразования молекулы *D*-рибозы связаны с введением 3-дезоксизвена, функций при C4 и замыканием тетрагидрофуранового цикла. Все эти задачи решались следующим образом [123].

Гидролиз легко доступного производного (262), исчерпывающее метилирование промежуточного триола (263) и гидролиз эфира (264) приводят к фуранозе (265), которую вводят в реакцию β -элиминирования обработкой гидроокисью кальция. Получают виниловый эфир (266). Восстановление в последнем центре C1, гидролиз енола дают кетопроизводное (267), которое восстанавливают до триола (268) и далее селективно тозилируют до производного (269). Авторами было найдено, что замыкание тетрагидрофуранового кольца в (269) происходит спонтанно и значительно ускоряется добавлением катализитических количеств триэтиламина. Окисление смеси спиртов (270) приводит к кетону (271), из которого известным методом, упоминавшимся нами в разделе, посвященном синтезу полиоксинов, была получена эпимерная смесь гидантонинов (272) и (273) с преобладанием первого. Гидролиз этих гидантонинов с последующим гидрогенолизом приводит к целевым соединениям (258) и (259).

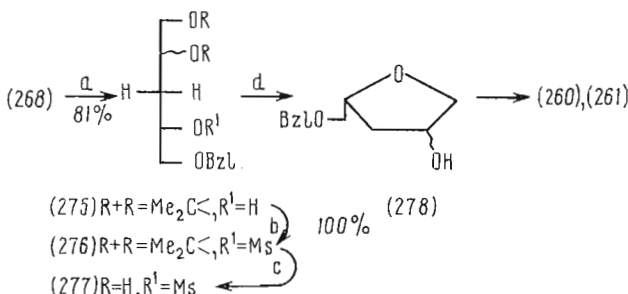
В следующей работе этих же авторов интермедиат (266) был получен с высоким общим выходом из *D*-глюкозы [124], который, как и в предыдущем случае, переводился в кетон (267) (схема 28) и затем в смесь эпимерных спиртов (268). Для получения второй пары диастереомеров, (260), и (261), триол (268) ацетонировали до производного (275), мезилировали по свободному гидроксилу до производного (276), кислотный гидролиз которого и циклизация с помощью метилата натрия, сопровождаемая инверсией конфигурации центра C4, дают спирты (278), которые далее путем, аналогичным описанному в предыдущей схеме, были превращены в стереоизомеры (260) и (261).

Схема 27



a) H_3O^+ ; b) $MeI, NaH/DMF$; c) $Ca(OH)_2$; d) $NaBH_4$; e) $CG, 50(H^+)$; f) $TsCl/Py$;
 g) Py, Et_3N (cat); h) $TFA/DMSO$; i) $KCN, (NH_4)_2CO_3, MeOH, CO_2$ (50 atm);
 j) $Ba(OH)_2$; k) $H_2, Pd/C$.

Схема 28

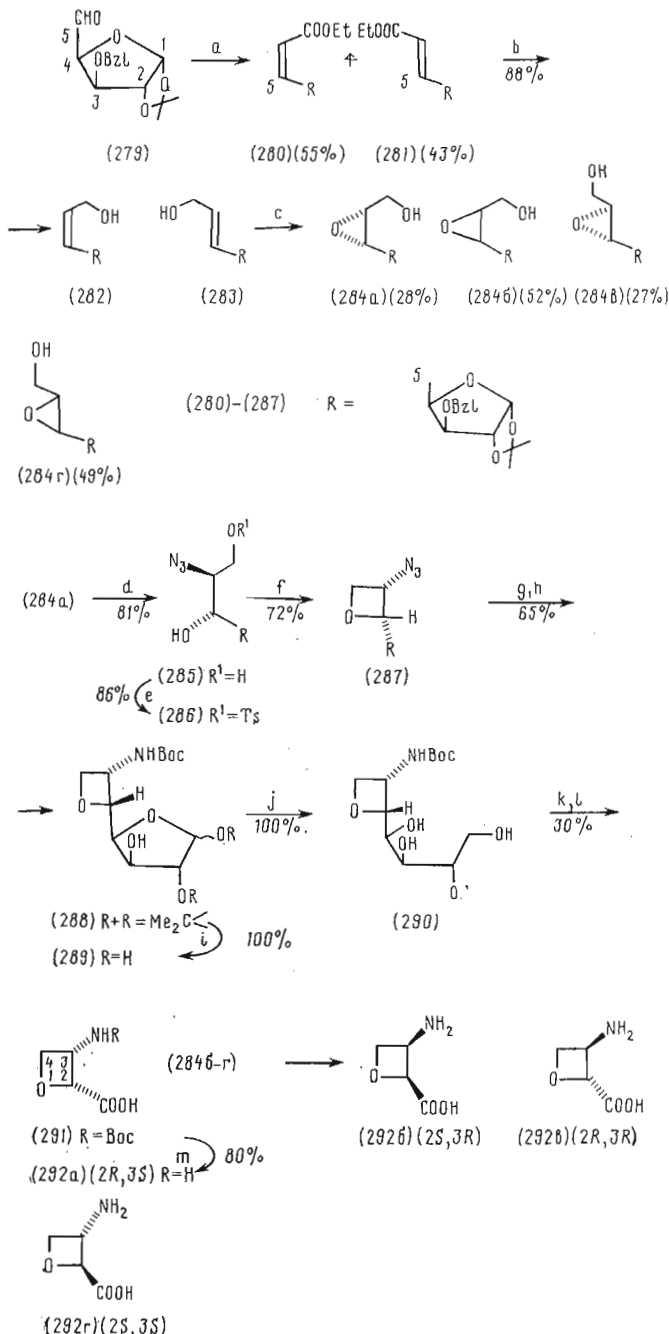


a) $Me_2CO, CuSO_4$; b) $MsCl/Et_3N$; c) $TFAA, H_2O$; d) $MeONa/MeOH$.

V.14. Синтез стероизомеров оксетина

Недавно [125] из *Streptomyces* sp. OM-2317 была выделена новая аминокислота, названная оксетином (oxetin) (292a), 2*R*,3*S*-конфигурация которой была доказана рентгеноструктурным анализом (схема 29). Это первая аминокислота из выделенных в природе, имеющая оксетановое кольцо. Антибиотик ингибирует рост *Bacillus subtilis*, *Piricularia oryzae*, он показал гербицидную активность и является ингибитором глутамин-синтетазы.

Схема 28



a) $\text{Ph}_3\text{P}=\text{CHCOOEt}$; b) DIBAL/PhMe; c) MCPBA; d) $\text{NaN}_3/\text{MeOCH}_2\text{CH}_2\text{OH}-\text{H}_2\text{O}$, NH_4Cl ; e) TsCl/Py ; f) $\text{Bu}'\text{OK}/\text{THF}$; g) H_2 , $\text{Pd/C}/\text{THF}-\text{AcOH}-\text{H}_2\text{O}$; h) $\text{Boc-Cl}/\text{MeOH}-\text{H}_2\text{O}$; i) H_3O^+ ; j) $\text{NaBH}_4/\text{MeOH}-\text{H}_2\text{O}$; k) $\text{NaIO}_4/\text{CCl}_4-\text{MeCN}-\text{H}_2\text{O}$; l) H_2 , Pd/C .

Имея в своем составе два асимметрических центра, оксетин может существовать в четырех стереоизомерных формах (292а—г). Все они были синтезированы [126] из известного альдегида (279), получаемого в четыре стадии из D-глюкозы [127]. Стратегия авторов основана на получении оксетанов по Вильямсону из монотозилатов 1,3-дполов типа (286), которые могут быть синтезированы раскрытием азид-ионом эпоксидов (284). Поскольку была поставлена задача синтеза всех стереоизомеров оксетина (292а—г), низкая стереоселективность на стадии получения эфиров (280) и (281) по Виттигу и последующее эпоксицирование спиртов (282) и (283) оказались несущественными и позволили получить все ключевые эпоксиды (284).

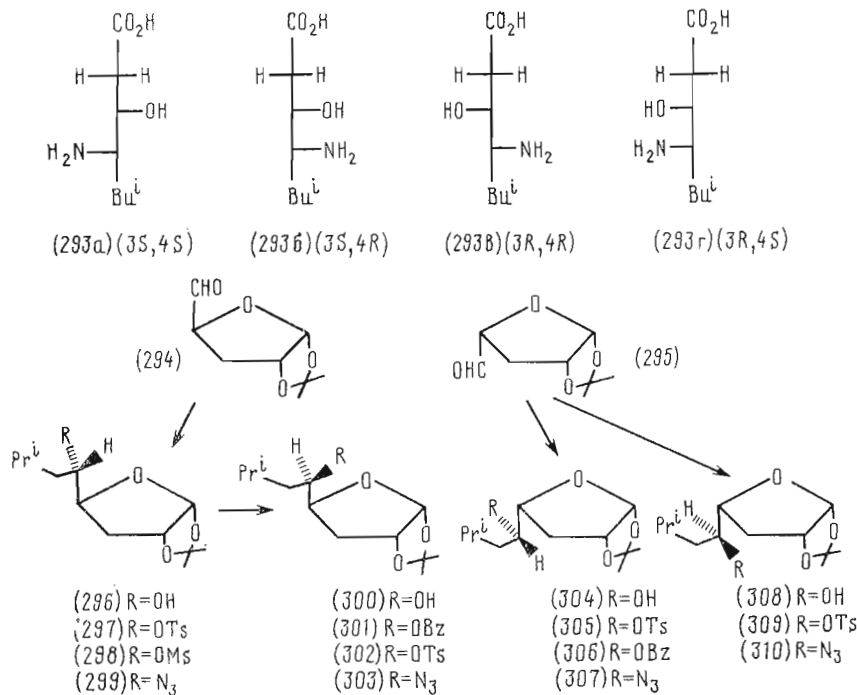
Реакция эпоксицирования (284) с азидом натрия проходит региоспецифично и приводит к преимущественному образованию одного стереоизомера. Образующийся диол (285) монотозилируют и далее циклизируют в оксетан (287), восстановление которого и защита аминоугруппы приводят к фуранозе (288). Снятие 1,2-О-изопропиленовой защиты, приводящее к альдегиду (289), и последующее ее восстановление до тетраола (290) проходят с количественным выходом. Периодатное расщепление тетраола и последующее окисление промежуточного альдегида только с 30% выходом приводят к кислоте (291). Выход удалось улучшить до 51%, применив для осуществления этой стадии систему $\text{RuCl}_3\text{-NaIO}_4$ [128].

Удаление N-Вос-защитной группы в соединении (291) дает оксетин (292а), полностью соответствующий природному образцу. Аналогично были получены и другие стереоизомеры оксетина (292б—г).

V.15. Синтез (3S, 4S)-4-амино-3-гидрокси-6-метилгептановой кислоты (статин)

В состав некоторых пептидов, пепстатинов (pepstatins) [129—131], дидемининов (didemnins) [132] и других [133], выделенных из стрептомицетов и являющихся неспецифическими ингибиторами кислых протеиназ типа ренина, пепсина, катепсина D, входит редкая аминокислота — (3S,4S)-4-амино-3-гидрокси-6-метилгептановая, названная статином, (239а) (схема 30). В связи с тем что указанные пептиды могут быть полезными при лечении язвы желудка, воспалительных процессов и гипертонии, синтетические исследования в этой области приобрели большое значение.

Схема 30



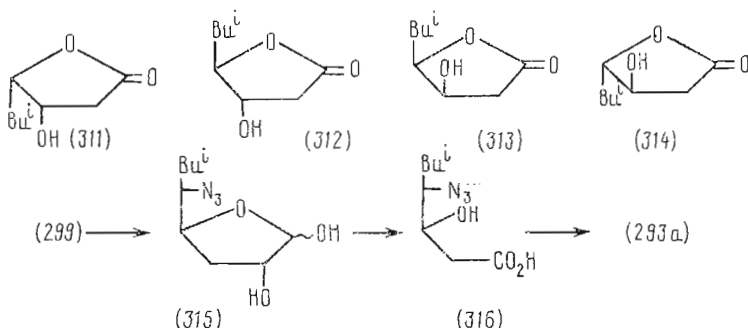
К настоящему времени опубликовано много методов получения статина. Большинство из них основано на альдольной конденсации N-защищенной формы (*S*)-лейцина (как источника C3- и C4-атомов в молекуле (293а)) с металлизированными производными уксусной кислоты (источник C1- и C2-атомов) [134, 135], магниевыми енолятами [136, 137] или циклоконденсацией [138]. Имеются сообщения об асимметрическом синтезе статина из *L*-лейцина [139, 140]. Недавно из *D*-лейцина был получен 3*S*,4*R*-изомер (293б) [141], привлекший внимание синтетиков в связи с его обнаружением в дилеминах, обладающих противоопухолевой и антивирусной активностью [132].

Долгое время одной из основных проблем было энантиоселективное введение 3-гидроксигруппы [142–146] в молекулу аминокислоты. И только недавно разработка методов диастереопревращения лейцина [141, 147, 148] или лейцина [149] позволила решить эту проблему, связанную в основном с конфигурационной неустойчивостью N-замещенных α -аминоальдегидов [150]. Опубликованы синтезы статина и его аналогов восстановлением β -кетоэфиров аминокислот [151, 152], другими методами [153]. Известен даже синтез 3-дезокси-3-аминостатина [154].

Большое количество работ по синтезу статина свидетельствует о практической значимости получения этой аминокислоты в энантиомерно чистом виде. Необходимо отметить, однако, что эта проблема была решена весьма эффективным способом практически сразу же после открытия данной аминокислоты и доказательства ее стереохимии [155] с использованием в качестве исходных соединений производных углеводов.

В первых работах в качестве исходных соединений Киноши и сотр. [156, 157] выбрали альдегид (294) (схема 30), легко доступный из *D*-глюкозы [158]. Реакция Гриньяра альдегида (294) с изобутилмагний-бромидом приводит исключительно к спирту (296) (91%), стереохимия которого была доказана его сведением к лактону (311). Тозилирование или мезилирование спирта (296) с хорошим выходом приводят к соединениям (297) и (298), которые обработкой бензоатом натрия в горячем DMF переводились в бензоат (301) с выходом 33 и 52% соответственно, далее в спирт (300) и затем в тозилат (302).

Нуклеофильное замещение тозилоксигруппы в производном (302) проходит с полным обращением конфигурации и с выходом 83% дает азид (299). Дальнейшие операции по переходу от азидов (299) и (303) к аминокислотам (293а) и (293б) обычны для химии углеводов. Так, гидролиз 1,2-О-изопропилиденовой защитной группы в соединении (299) 50% AcOH и окисление диольной системы NaIO₄ и промежуточного альдегида гипоидидом натрия приводят к азидокислоте (316) (32%), которую немедленно восстанавливали над Pd-чернью и с выходом 90% выделяли аминокислоту (293а), идентичную природной. Аналогично была получена аминокислота (293б) из азода (303).



При взаимодействии альдегида (295) [159] с изобутилмагнийбромидом в отличие от предыдущего синтеза образуются уже два спирта — (304) и (308) с выходами 31 и 32% соответственно. Их стереохимия была доказана, как и в предыдущем случае, сведением к лактонам (313) и (314).

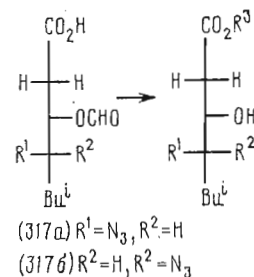
Аналогичными методами были получены азиды (307) и (310), которые далее были превращены в аминокислоты (293в) и (293г).

Таким образом, исходя из очень доступных альдегидов (294) и (295) за ограниченное число стадий еще в 1973 г. был осуществлен стереонаправленный синтез всех четырех стереоизомеров статина.

При изучении способности пепстатаина [160, 161] и других пептидов, содержащих статин, к ингибиции кислых протеиназ Киношита с сотр. в продолжение своих работ в этой области осуществили также синтез N-(Ac-Val-Val)-статаина и его 3S,4R-стереоизомера (схема 31) [157].

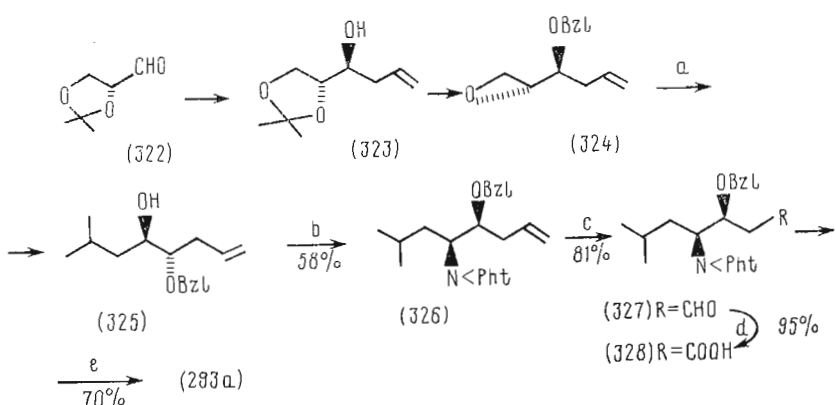
Схема 31

- (318а) R¹ = N₃, R² = H, R³ = Bu^t
- (318б) R¹ = H, R² = N₃, R³ = Bu^t
- (319а) R¹ = NH₂, R² = H, R³ = Bu^t
- (319б) R¹ = H, R² = NH₂, R³ = Bu^t
- (320а) R¹ = Ac-Val-Val-NH, R² = H, R³ = Bu^t
- (320б) R¹ = H, R² = Ac-Val-Val-NH, R³ = Bu^t
- (321а) R¹ = Ac-Val-Val-NH, R² = R³ = H
- (321б) R¹ = R³ = H, R² = Ac-Val-Val-NH



Из соединений (317а, б), промежуточных в синтезе аминокислот (293а, б), обработкой изобутиленом в CH₂Cl₂ в присутствии катализитических количеств H₂SO₄ были получены эфиры (318а, б) с выходом 58 %. Гидрогенолиз эфира (318а) над Pd-чернью с количественным выходом дает аминокислоту (319а), которую немедленно вводили в конденсацию с N-ацетил-Val-Val-гидразином. Пептид (320а) при этом был получен с выходом 74 %, его гидролиз TFA приводит к целевому соединению (321а). Аналогично был получен и пептид (321б).

Схема 32



a) Pr^tMgBr, CuI/THF; b) Ph₃P, Pht > NH/THF, DEAD; c) O₃; Ph₃C; d) KMnO₄, Na₂HPO₄; H₂O - HOBu^t; e) H₂, Pd/C, NH₂NH₂, H₂O.

В 1988 г. был предложен новый, чрезвычайно эффективный синтез статина [162]. Он основан на использовании гомоаллилового спирта (323), получаемого взаимодействием ацетонида (*R*)-глицеринового альдегида (322) с диаллилцинком (163) (схема 32). Весь синтез исходя из альдегида (322) состоит из 9 стадий. Общий выход аминокислоты (293а) 13 %.

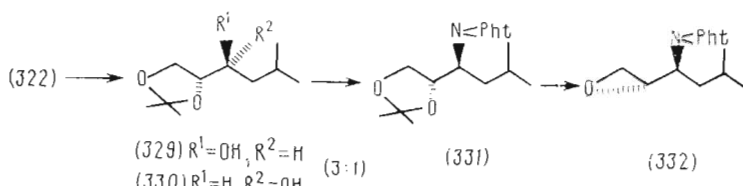
Ряд стандартных операций с производными (323), включая О-бензилирование, гидролиз О-изопропиляденовой группы, монотозилирование промежуточного диола и последующую щелочную обработку, с высоким общим выходом приводят к α -оксиду (324) [163, 164]. Взаимодействие последнего с изопропилмагнийбронидом при катализе CuI дает спирт (325),

гидроксильная группа в котором известным методом [165] была заменена с обращением конфигурации этого центра на фталимидную.

Некоторые затруднения вызвало окисление двойной связи в производном (326). Его удалось осуществить озонолизом и последующим восстановлением промежуточного озонада Ph_3P . Образующийся при этом альдегид (327) далее известным методом был окислен в кислоту (328) [166], снятие защитной группы в которой приводило к статину (293а).

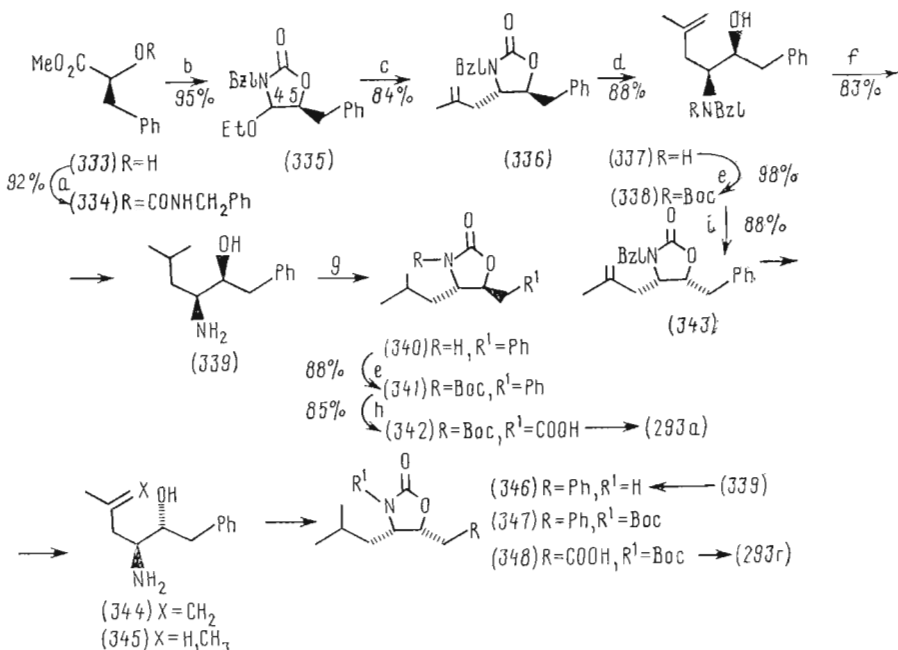
Аналогично, исходя из ацетонида альдегида (322), учитывая симметрию исходного соединения, позволяющую менять реагирующие концы молекулы, авторы осуществили синтез α -эпоксида (332) (схема 33), из которого они надеются получить $3R,4S$ -стереоизомер статина (293в).

Схема 33



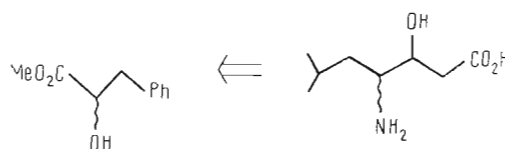
В заключение рассмотрим предложенный недавно [167] перспективный синтез всех четырех стереоизомеров статина, который может оказаться полезным в синтезе любых аминокислот, содержащих в вицинальном положении амино- и гидроксигруппы. Частично этот подход к синтезу аминокислот мы рассматривали выше в разделе V.3, посвященном получению редкой аминокислоты из циклоспорина.

Схема 34



a) $\text{PhCH}_2\text{NCO}/\text{PhMe}$; b) DIBAL/PhMe; EtOH — HCl; c) β -металлилтрифенилолово^{*} $\text{TiCl}_4/\text{CH}_2\text{Cl}_2$; d) NaOH/EtOH ; e) Boc_2O , Et_3N ; f) H_2 , Pd/C — EtOH; g) $\text{PhCH}_2\text{OCOCl}$, Et_3N ; h) RuCl_3 — NaIO_4 ; i) SOCl_2 .

Стратегия авторов [167] основана на утилизации α -гидроксифенилпропионовых кислот, которые могут быть получены как из фенилаланина [168] с последующим энзиматическим гидролизом промежуточных эфиров [169], так и из углеводов [170]. α -Гидроксифенилпропионовые кислоты в этом случае обеспечивают построение остатка β -гидроксикарбоновой кислоты. Одним из определяющих моментов в этом синтезе является так-



Конденсация бензилизоцианата с (*S*)- α -гидроксифенилпропионовой кислотой (333) приводит к карбамату (334), восстановление которого с последующей кислотной обработкой дает 4-этоксипроизводное (335) как смесь (1 : 1) 4,5-*цис*- и *транс*-изомеров с выходом 95 %. Изобутенилирование этой смеси продуктов по С4 проводилось обработкой β -металлилтрифенилстаннаном при катализе $TiCl_4$, и приводило с высоким выходом к единственному продукту (336), щелочной гидролиз которого давал *трео*-(4*S*,5*S*)-4-бензиламино-5-гидрокси-2-метил-6-фенилгекс-1-ен (337) с 98 % оптической чистотой. Гидрогенолиз последнего и карбонилирование промежуточного аминоспирта (339) приводят к оксапиразолидинону (340), защита аминогруппы в котором дает N-Вос-продукт (341). Окисление фенильной группы в производном (341) осуществлялось системой $RuCl_3-NaIO_4$, что приводило к кислоте (342), гидролиз которой и снятие защитных групп давало (3*S*,4*S*)-статин (293а). Аналогично из (*R*)- α -гидроксифенилпропионовой кислоты был получен 3*R*,4*R*-стереоизомер статина (293в). Два других изомера — (3*R*,4*S*) (293г) и (3*S*,4*R*) (293б) — были получены диастереопревращением синтезированных выше (3*S*,4*S*)- (293а) и (3*R*,4*R*)- (293в) изомеров соответственно [172]. Так, обработка соединения (338) тионилхлоридом в CH_2Cl_2 при 20°С сопровождается конфигурационной конверсией атома углерода, несущего гидроксильную группу, давая (4*S*,5*R*)-продукт (343), который далее аналогичным путем был превращен в (3*R*,4*S*)-стадин (293г). Промежуточный в этом синтезе оксазолидинон (346) может быть также получен N-*трем*-бutoксикарбонилированием (339) с последующей обработкой тионилхлоридом, но с более низким выходом (23 %). Трансформация интермедиата (348) в N-Вос-(3*R*,4*S*)-стадин (293г) была описана авторами ранее [173]. Аналогично из стереоизомера (293в) был получен (3*S*,4*R*)-стадин (293б).

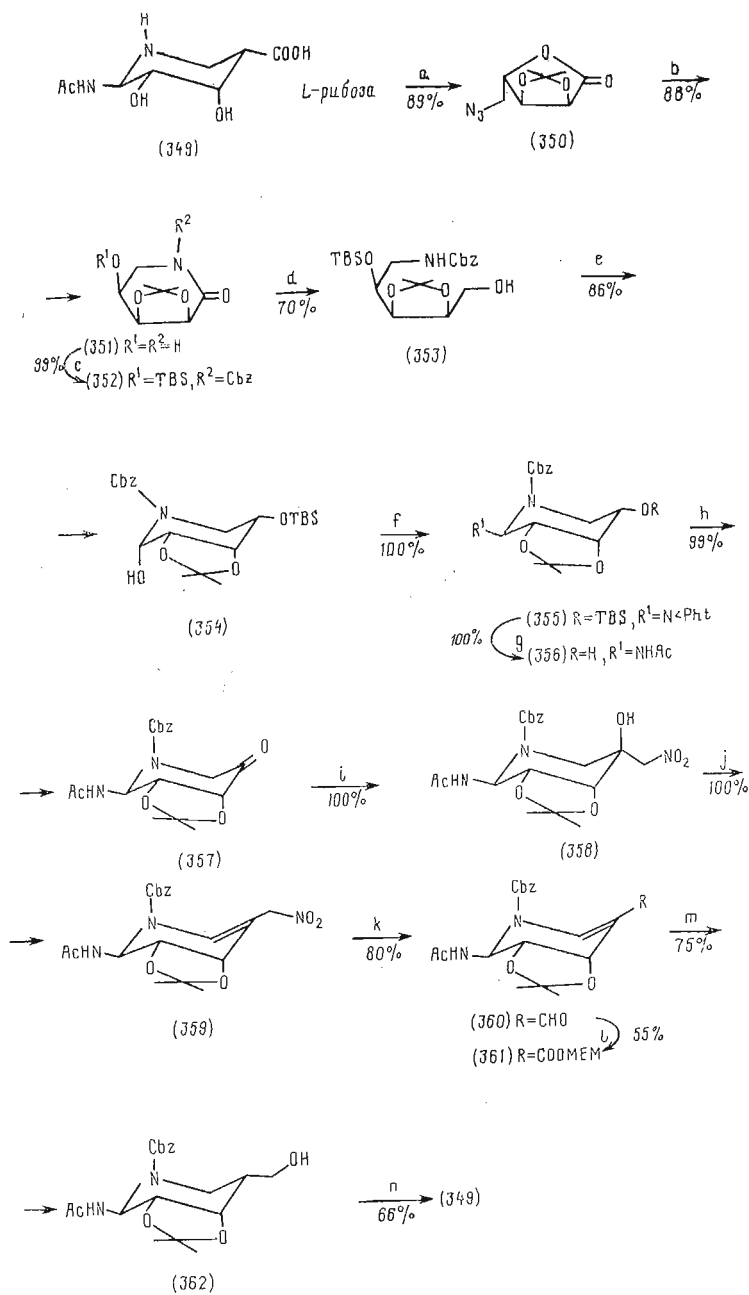
Таким образом, оксазолидиновый метод оказался эффективным и в синтезе β -гидрокси- γ -аминокислот. Учитывая легкую доступность α -гидроксикислот как из углеводов, так и из природных источников (молочная, яблочная, винные кислоты), а также карбаматов 2,3-эпоксиспиртов, использованных в синтезе аминокислоты (53) (схемы 6—9) (см. раздел V.3), можно сделать заключение, что этот метод окажется одним из наиболее эффективных для получения оксиаминокислот, содержащих амино- и гидроксигруппы в вицинальном положении.

V.16. Синтез сиастатина В

В 1974 г. из стрептомицетов была выделена необычная аминокислота, названная сиастатином В ((349), схема 35) [174]. В это же время спектральными методами была установлена ее относительная конфигурация. На основании этих данных и биологической активности новой аминокислоты (ингибитор нейраминидазы, β -глюкуронидазы и N-ацетил- β -D-глюкозаминидазы) ей была приписана абсолютная конфигурация, соответствующая N-ацетилнейраминовой кислоте, что в дальнейшем было подтверждено полным синтезом [175] (схема 35).

Ключевым соединением в этом высокоэффективном синтезе является лактам (351), полученный стандартным методом из L-рибозы. Защита функциональных групп, восстановление амидной группировки в (352) приводят к первичному спирту (353), переведенному далее в альдегид, взаимодействие которого с аминогруппой проходит стереоспецифично и дает с хорошим выходом нужный аминал (354). Свободная гидроксильная группа в последнем стереоспецифично замещается на аминогруппу. После ряда стандартных операций был получен спирт (356). Введение

Схема 38



a) TsOH, Me_2CO ; MsCl/Py ; NaN_3/DMSO ; CrO_3/Py ; b) H_2 , $\text{Ni-Ra}/\text{MeOH}$; c) TBS-Cl , ImH/DMF ; CBz-Cl , NaH/DMF ; d) $\text{NaBH}_4/\text{EtOH}$; e) $(\text{COCl})_2$, DMSO , Et_3N , CH_2Cl_2 ; f) $\text{Pht} > \text{NK}$, Ph_3P , DEAD/DMF ; g) $\text{NH}_2\text{NH}_2/\text{MeOH}$; $\text{Ac}_2\text{O}/\text{Py}$; $\text{Bu}_4\text{nNF}/\text{THF}$; h) RuO_4 , MeNO_2 , NaH/DME ; i) TsOH , Ac_2O ; K_2CO_3 , PhH ; j) Py ; l) $\text{MeCH-CMe}_2/\text{Bu}^t\text{OH}$, $\text{NaOCl}_2 - \text{NaH}_2\text{PO}_4$; MEMCl, Pr_2iNET ; m) NaBH_4 , TFA/THF ; n) PDC/DMF , H_2 , Pd/C , MeOH ; i н. HCl ; Dowex 50W-X4(H^+), NH_4OH .

карбоксильной группы в последний, завершающем синтез статина В (349), было осуществлено стандартным методом, показанным на схеме. Аналогично из *D*-риболактона был получен энантиомер (349).

6. Заключение

Анализ литературных данных убедительно показывает перспективность использования углеводов в качестве исходных соединений в стереонаправленном синтезе аминокислот разнообразного строения. Этот под-

ход оказывается особенно удобным при получении полифункциональных аминокислот, содержащих в первую очередь гидроксигруппы или дополнительные амино-, тио-, фтор- и другие заместители. Причем, как это неоднократно отмечалось выше, только использование углеводов в большинстве случаев синтеза аминокислот дает однозначный стереохимический результат и проходит с полным оптическим выходом.

Хотя ряд синтезов аминокислот, приведенных в обзоре, выглядит иногда тяжеловесно из-за своей многостадийности, порой академично за счет экзотичности применяемых реагентов, однако они могут иметь и практическое значение, особенно для получения малодоступных из природных источников небелковых аминокислот. Наряду с синтезом природных стереоизомеров этот подход дает возможность получить эпипроизводные. Поскольку аминокислоты содержат относительно небольшое количество хиральных центров, это позволяет без особых затрат иметь все стереоизомеры целевого вещества и провести далее полные фундаментальные исследования по выяснению связи между химической структурой и биологическими свойствами. Исследование биосинтеза, поиск новых аналогов, обладающих более направленным действием, и другие проблемы также можно решить проще, имея полный ряд стереоизомеров целевого вещества.

Прогресс в области синтеза аминокислот из углеводов привел к развитию новых методов и приемов, к разработке новых реакций, полезных для всего органического синтеза. Чрезвычайно перспективны, например, подходы к синтезу аминокислот разнообразного строения с использованием карбаматов α -эпоксиспиртов, азиридиновых производных углеводов, силилиминов и др. Очевидно, что развитие химии оптически активных малых синтонов типа (*R*)- или (*S*)-глицеринового альдегида в значительной мере было связано с задачами разработки практических методов получения аминокислот.

Очевидно, что рассмотренные методы получения аминокислот из углеводов хорошо дополняют, а в ряде случаев и улучшают известные методы, такие, как асимметрическая трансформация одних аминокислот в другие, асимметрическое восстановление ненасыщенных аминокислот и их превращения через комплексы переходных металлов и др. Эти методы исходят обычно из доступных, но малофункциональных аминокислот, поэтому они приемлемы для получения многих простых аминокислот на основе известных, в том числе каталитических, методов образования связей C—C, C—N и C—H. В то же время углеводы наряду с получением обычных аминокислот позволяют осуществить некатализитически асимметрический переход к аминокислотам более сложного строения с несколькими хиральными центрами.

За время подготовки рукописи к печати появилось значительное количество новых публикаций, что свидетельствует о нарастающем интересе исследователей к использованию производных углеводов для синтеза аминокислот разнообразного строения.

Так, описано несколько стереонаправленных синтезов α -амино- β -гидрокси- [176—179], α -гидрокси- β -аминокислот [180], α -метил- α -аминокислот [181], синтез *L*-серина из *D*-глюкозамина [182]. Применение новых нуклеофилов позволило значительно расширить круг аминокислот, получаемых раскрытием хиральных азиридинов (см. ч. I, раздел I, 2) [183]. В работе [184] использование производных углеводов в качестве хиральной уходящей группы позволило осуществить стереоселективное метилирование и протонирование литиевых енолятов глицина. Дальнейшее развитие в синтезе α - и β -аминокислот получила реакция Уги [185—188], причем в одном случае заменой растворителя авторам удалось изменить направление асимметрической индукции, что позволило, исходя из одного и того же производного *D*-галактозиламина, получать как (*R*)-, так и (*S*)-аминокислоты [189]. Этот подход использован для получения аминокислот нуклеофильным алкилированием хиральных гидразонов [190].

В продолжение своих исследований группой Флитта [191, 192] получен ряд полигидроксипролинов и липеколиновых кислот (см. также

[193]). Производные углеводов были использованы также в синтезе других циклических аминокислот [194—198]. Синтетические исследования в области кайнодиев — замещенных пролинов обобщены в обзоре [199].

Продолжались исследования в области поликсипинов [200—206] и редких аминокислот. Опубликовано несколько синтезов статина и его аналогов [207—211], (+)- и (-)-галантиновой кислоты [212, 213], негамицина [214—216], Me-BMT-фрагмента циклоспорина [217—219], пиридомицина [220].

За это время значительно расширены синтетические исследования в области редких аминокислот, обладающих антибиотическими, токсическими, противогрибковыми и другими свойствами. Был проведен синтез β -амино- γ,δ -дигидроксигександикарбоновой кислоты, основного компонента противоязвенного вещества [221, 222], необычной C_{20} -аминокислоты [223], АК-токсина II [224], основного хирального фрагмента циклодепептида геодиамоида А [225] и антибиотика с исключительно широким биологическим действием — синефунгина [226].

СПИСОК ЛИТЕРАТУРЫ

1. van Tamelen E. E., Dyer J. R., Whaley H. A., Carter H. E., Whitfield G. B. // J. Amer. Chem. Soc. 1961. V. 83. № 20. P. 4295—4296.
2. Carter H. E., Klark R. K., Kohn P., Rothrock J. M., Taylor W. R., West C. A., Whitfield G. B., Jackson W. G. // J. Amer. Chem. Soc. 1954. V. 76. № 2. P. 566—569.
3. Bycroft B. W., King T. J. // J. Chem. Soc. Chem. Communns. 1972. № 11. P. 652—653.
4. Hildesheim J., Cleophax J., Sepulchre A. M., Gero S. D. // Carbohydr. Res. 1969. V. 9. P. 315—322.
5. Cleophax J., Hildesheim J., Gero S. D. // Bull. Soc. chim. France. 1967. № 11. P. 4111—4115.
6. Fuchigami T., Odo K. // Bull. Chem. Soc. Jap. 1976. V. 49. № 12. P. 3607—3610.
7. Goto T., Ohgi T. // Tetrahedron Lett. 1974. № 15. P. 1413—1416.
8. Kusumoto S., Tsuji S., Shiba T. // Tetrahedron Lett. 1974. № 15. P. 1417—1420; Bull. Chem. Soc. Jap. 1974. V. 47. № 11. P. 2690—2695.
9. Kinoshita M., Suzuki Y. // Bull. Chem. Soc. Jap. 1977. V. 50. № 9. P. 2375—2378.
10. Top S., Caro B., Jaonen G. // Tetrahedron Lett. 1978. № 9. P. 787—790.
11. Kusumoto S., Iwaoka S., Kambayashi Y., Yoshizawa K., Shiba T. // Chem. Lett. 1981. № 9. P. 1317—1320.
12. Baker B. R., Schaub R. E. // J. Amer. Chem. Soc. 1955. V. 77. № 22. P. 5900—5905.
13. Kusumoto S., Imaoka S., Kambayashi Y., Shiba T. // Tetrahedron Lett. 1982. V. 23. № 29. P. 2961—2964.
14. Ruegger A., Kuhn M., Lichten H., Loosli H.-R., Huguenin R., Quiquerez C., von Wartburg A. // Helv. chim. acta. 1976. V. 59. № 4. P. 1075—1092.
15. Petcher T. J., Weber H. P., Ruegger A. // Helv. chim. acta. 1976. V. 59. № 5. P. 1480—1493.
16. Wenger R. M. // Helv. chim. acta. 1983. V. 66. № 7. P. 2308—2321.
17. Seebach D., Hungerbühler E. // Modern synthetic methods // Ed. Scheffold R. Salle and Sauerlander, 1980. P. 93—171.
18. Johnson C. R., Johnson E. U. // J. Amer. Chem. Soc. 1970. V. 92. № 12. P. 3813—3816.
19. Richl J. J., Fougerousse A. // Bull. Soc. chim. France. 1968. № 10. P. 4083—4088.
20. Aeby J. D., Dhoon M. K., Rich D. H. // J. Org. Chem. 1987. V. 52. № 13. P. 2881—2886.
21. Schmidt U., Siegel W. // Tetrahedron Lett. 1987. V. 28. № 25. P. 2849—2852.
22. Evans D. A., Webber A. E. // J. Amer. Chem. Soc. 1986. V. 108. № 21. P. 6757—6761.
23. Kauko T., Inui T. // Bull. Chem. Soc. Jap. 1962. V. 35. № 7. P. 1145—1149.
24. Rama Rao A. V., Murali Dhar T. G., Chakraborty T. K., Gurijar M. K. // Tetrahedron Lett. 1988. V. 29. № 17. P. 2069—2072.
25. Roush W. R., Adam M. A. // J. Org. Chem. 1995. V. 50. № 20. P. 3752—3757.
26. Bagli J. F., Kluepfel D., Jacques M. St. // J. Org. Chem. 1973. V. 38. № 7. P. 1253—1260.
27. Just G., Payette D. R. // Tetrahedron Lett. 1980. V. 21. № 19. P. 3219—3222.
28. Payette D. R., Just G. // Can. J. Chem. 1971. V. 59. № 2. P. 269—282.
29. Wollenberg R. H., Miller S. J. // Tetrahedron Lett. 1978. № 35. P. 3219—3222.
30. Vedejs E., Fushs P. L. // J. Amer. Chem. Soc. 1973. V. 95. № 3. P. 822—825.
31. Banfi L., Beretta M. G., Colombo L., Gennari C., Scolastico C. // J. Chem. Soc. Chem. Communns. 1982. № 9. P. 488—490.

32. Banfi L., Beretta M. G., Colombo L., Gennari C., Scolastico C. // J. Chem. Soc. Perkin Trans. 1. 1983. № 8. P. 1613—1619.
 33. Linstrumelle H., Krieger J. K., Whitesides G. M. // Org. Synthesis. 1976. V. 55. P. 103—113.
 34. Barry C. P., Honeyman S. // J. Chem. Soc. 1952. № 11. P. 4147—4151.
 35. Katagari K., Tori K., Kimura Y., Yoshida T., Nagasaki T., Minato H. // J. Med. Chem. 1967. V. 10. № 6. P. 1149—1154.
 36. Shiro M., Nakai H., Tori K., Nishikawa J., Yoshimura Y., Katagari K. // J. Chem. Soc. Chem. Communns. 1980. № 9. P. 375.
 37. Semple J. E., Wang P. C., Lusenko L., Joullie M. M. // J. Amer. Chem. Soc. 1980. V. 102. № 25. P. 7505—7510.
 38. Jain T. C., Jenkins I. D., Russell A. F. // J. Org. Chem. 1974. V. 39. № 1. P. 30—38.
 39. Parker J. M. R. Diss. Ph. D. Univ. of Alberta (USA), 1980.
 40. Joullie M. M., Wang P. C., Semple J. E. // J. Amer. Chem. Soc. 1980. V. 102. № 2. P. 887—889.
 41. Defaye J., Ratovelomanana V. // Carbohyd. Res. 1971. V. 17. P. 57—65.
 42. Ugi I. // Angew. Chem. Int. Ed. Engl. 1975. V. 14. № 1. P. 61—72.
 43. Chen S.-Y., Joullie M. M. // J. Org. Chem. 1984. V. 49. № 10. P. 1769—1772.
 44. Tipson R. S., Cohen A. // Carbohyd. Res. 1965. V. 1. P. 338—347.
 45. Garregg P. J., Samuelsson B. // Synthesis. 1979. № 6. P. 469—470.
 46. Garregg P. J., Samuelsson B. // J. Chem. Soc. Chem. Communns. 1979. № 22. P. 978—980.
 47. Robins M. J., Parker J. M. R. // Can. J. Chem. 1983. V. 61. № 2. P. 317—322.
 48. Damodaran N. P., Jones G. H., Moffatt J. G. // J. Amer. Chem. Soc. 1971. V. 93. № 15. P. 3812—3813.
 49. Corey A. J., Winter R. A. E. // J. Amer. Chem. Soc. 1963. V. 85. № 17. P. 2677—2678.
 50. Masamune T., Ono M. // Chem. Lett. 1975. № 6. P. 625—626.
 51. Takemoto T. // J. Pharm. Soc. Jap. 1964. V. 84. № 12. P. 1183—1186.
 52. Wagner I., Musso H. // Angew. Chem. Int. Ed. Engl. 1983. V. 22. № 11. P. 816—828.
 53. Хомутов Р. М., Северин Е. С., Ковалева Г. К. // Докл. АН СССР. 1964. Т. 161. С. 1227—1230.
 54. Kamiya T. // Chem. Pharm. Bull. 1969. V. 17. № 5. P. 895—900.
 55. Baldwin J. E., Hoskins C., Kruse L. // J. Chem. Soc. Chem. Communns. 1976. № 19. P. 795—796.
 56. Hagedorn A. A., Miller B. J., Nagy J. O. // Tetrahedron Lett. 1980. V. 21. № 3. P. 229—230.
 57. Wade P. A., Pillay M. K., Singh S. M. // Tetrahedron Lett. 1982. V. 23. № 44. P. 4563—4566.
 58. Wade P. A., Singh S. M., Pillay K. // Tetrahedron. 1984. V. 40. № 3. P. 600—611.
 59. Vyas D. M., Chiang Y., Doyle T. W. // Tetrahedron Lett. 1984. V. 25. № 5. P. 487—490.
 60. Stevens R. V., Polniaszek R. P. // Tetrahedron. 1983. V. 39. № 5. P. 743—747.
 61. Kelly R. C., Schleitter I., Stein S. J., Wierenga W. // J. Amer. Chem. Soc. 1979. V. 101. № 4. P. 1054—1056.
 62. Baldwin J. E., Kruse L. I., Cha J.-K. // J. Amer. Chem. Soc. 1981. V. 103. № 4. P. 942—943.
 63. Silverman R. B., Holladay M. W. // J. Amer. Chem. Soc. 1981. V. 103. № 24. P. 7357—7358.
 64. Hanessian S., Vanasse B. // Can. J. Chem. 1987. V. 65. № 1. P. 195—199.
 65. Hanessian S., Ugolini A., Therien M. // J. Org. Chem. 1983. V. 48. № 23. P. 4427—4429.
 66. Kamiya T. // Chem. Pharm. Bull. 1969. V. 17. № 5. P. 886—889.
 67. Pruess D. L., Kellett M. // J. Antibiot. 1983. V. 36. № 3. P. 208—212.
 68. Evans R. H., Ax H., Jacoby A., Williams T. H., Jenkins E., Scannell J. // J. Antibiot. 1983. V. 36. № 3. P. 213—216.
 69. Mueller J. C., Toome V., Pruess D. L., Blount J. F., Weigle M. // J. Antibiot. 1983. V. 36. № 3. P. 217—225.
 70. de Bernardo S., Tengi J. P., Sasso G. J., Weigle M. // J. Org. Chem. 1985. V. 50. № 19. P. 3457—3462.
 71. Barton D. H. R., McCombie S. W. // J. Chem. Soc. Perkin Trans. 1. 1975. № 16. P. 1574—1585.
 72. Wagner D., Verheyden J. P. H., Moffatt J. G. // J. Org. Chem. 1974. V. 39. № 1. P. 24—30.
 73. Kakinuma K., Otake N., Yonehara H. // Tetrahedron Lett. 1972. № 25. P. 2509—2512.
 74. Yonehara H., Seto H., Shimazu A., Aizawa S., Hidaka T., Kakinuma H., Otake N. // Agric. Biol. Chem. 1973. V. 37. № 12. P. 2771—2776.
 75. Morishima H., Sawa T., Takita T., Aoyagi T., Takeuchi T., Umezawa H. // J. Antibiot. 1974. V. 27. № 4. P. 267—273.
 76. Kakinuma K., Otake N., Yonehara H. // Tetrahedron Lett. 1980. V. 21. № 2. P. 167—168.

77. Hough L., Richardson A. C. // Rodd's Chemistry for Carbon Compounds / Ed. Coffey S. Amsterdam: Elsevier, 1967. V. 1F (2nd ed.). P. 367—379.
78. Inglis G. R., Schwarz J. C. P., McLaren L. // J. Chem. Soc. 1962. № 3. P. 1014—1019.
79. Hansler J. // Liebigs Ann. Chem. 1983. № 6. P. 982—992.
80. Ohfune Y., Nishio H. // Tetrahedron Lett. 1984. V. 25. № 37. P. 4133—4136.
81. Ewing W. R., Harris B. D., Bhat K. L., Joullie M. M. // Tetrahedron. 1986. V. 42. № 9. P. 2421—2428.
82. Umezawa H. // Lloydia. 1977. V. 40. № 1. P. 67—81.
83. Hecht S. M., Rupprecht K. M., Jacobs P. M. // J. Amer. Chem. Soc. 1979. V. 101. № 14. P. 3982—3983.
84. Wolfrom M. L., Cron M. J. // J. Amer. Chem. Soc. 1952. V. 74. № 17. P. 1715—1716.
85. Levene P. A. // J. Biol. Chem. 1918. V. 36. P. 73—87.
86. Pravdic N., Fletcher H. G. // Carbohyd. Res. 1971. V. 19. P. 339—352.
87. Pravdic N., Zisis E., Pokorny M., Fletcher H. G. // Carbohyd. Res. 1974. V. 32. P. 115—126.
88. Owa T., Otsuka M., Ohno M. // Chem. Lett. 1988. № 1. P. 83—86.
89. Ohgi T., Hecht S. M. // J. Org. Chem. 1981. V. 46. № 6. P. 1232—1234.
90. Taylor E. C., Jocobi P. A. // J. Amer. Chem. Soc. 1976. V. 98. № 8. P. 2301—2307.
91. Andrews P., Hough L., Jones J. K. N. // J. Amer. Chem. Soc. 1955. V. 77. № 1. P. 125—130.
92. Okami Y., Maeda K., Umezawa H. // J. Antibiot. 1954. V. 7A. P. 55.
93. Maeda K., Kosaka H., Okami Y., Umezawa H. // J. Antibiot. 1953. V. 6A. P. 140.
94. Ogawara H., Koyama G., Naganawa H., Maeda K., Umezawa H. // Chem. Pharm. Bull. 1968. V. 16. № 4. P. 679—687.
95. Koyama G., Litaka Y., Maeda K., Umezawa H. // Tetrahedron Lett. 1967. № 37. P. 3587—3590.
96. Kinoshita M., Mariyama S. // Bull. Chem. Soc. Jap. 1975. V. 48. № 7. P. 2081—2083.
97. Lawton B. T., Szarek W. A., Jones J. K. N. // Carbohyd. Res. 1969. V. 10. P. 456—458.
98. Rosenthal A., Sprinzel M. // Can. J. Chem. 1969. V. 47. № 21. P. 3941—3946.
99. Kinoshita M., Awamura M. // Bull. Chem. Soc. Jap. 1978. V. 51. № 3. P. 869—871.
100. Kinoshita M., Hamazaki H., Awamura M. // Bull. Chem. Soc. Jap. 1978. V. 51. № 12. P. 3595—3598.
101. Kinoshita M., Mori Y. // Bull. Chem. Soc. Jap. 1985. V. 58. № 11. P. 3298—3308.
102. Depaire H., Thomas J.-P., Brun A., Olesker A., Lukacs G. // Tetrahedron Lett. 1977. № 16. P. 1403—1406.
103. Prange T., Ducruix A., Pascard C., Lunel J. // Nature. 1977. V. 265. P. 189—191.
104. McGowan D. A., Jordis U., Minster D. K., Hecht S. M. // J. Amer. Chem. Soc. 1977. V. 99. № 20. P. 8078—8082.
105. Iwakawa M., Kobayashi Y., Ikuta S., Yoshimura J. // Chem. Lett. 1982. № 12. P. 1975—1978.
106. Kitahara K., Takahashi S., Shibata H., Kurihara N., Nakajima M. // Agric. Biol. Chem. 1969. V. 33. № 5. P. 748—754.
107. Schmidt R. R., Hermentin P. // Chem. Ber. 1979. Bd 112. № 11. S. 3616—3622.
108. Lown J. W., Majumdar K. C. // Can. J. Biochem. 1977. V. 55. № 6. P. 630—635.
109. Lown J. W., Hanstock C. C. // J. Amer. Chem. Soc. 1982. V. 104. № 11. P. 3213—3214.
110. Shibuya M. // Tetrahedron Lett. 1983. V. 24. № 11. P. 1175—1178.
111. Yoshimura J., Hara K., Yamaura M., Mikami K., Hashimoto H. // Bull. Chem. Soc. Jap. 1982. V. 55. № 3. P. 933—937.
112. Hamada M., Takeuchi T., Kondo S., Ikeda Y., Naganawa H., Maeda K., Okami Y., Umezawa H. // J. Antibiot. 1970. V. 23. № 3. P. 170—171.
113. Kondo S., Shibahara S., Takahashi S., Maeda K., Umezawa H. // J. Amer. Chem. Soc. 1971. V. 93. № 23. P. 6305—6306.
114. Shinohara S., Kondo S., Maeda K., Umezawa H. // J. Amer. Chem. Soc. 1972. V. 94. № 12. P. 4353—4354.
115. Ferrier R. J. // Advan. Carbohyd. Chem. 1965. V. 20. P. 67; 1969. V. 24. P. 199.
116. Tatsuta K., Fujimoto K., Kinoshita M. // Carbohyd. Res. 1977. V. 54. P. 85—104.
117. Schmidt H. W. H., Neukom H. // Carbohyd. Res. 1969. V. 10. P. 361—369.
118. Streicher W., Reinshagen H. // Carbohyd. Res. 1980. V. 83. P. 383—388.
119. Streicher W., Reinshagen H., Turnowsky F. // J. Antibiot. 1978. V. 31. № 7. P. 725—728.
120. Pasqyet G., Boucherot D., Pilgrim W. P., Wright B. // Tetrahedron Lett. 1980. V. 21. № 10. P. 931—934.
121. Tanner D., Somfai P. // Tetrahedron Lett. 1988. V. 29. № 19. P. 2373—2376.
122. Mizuhara S., Kodawa H., Ohmori S., Taketa K., Ueda M. // Physiol. Chem. Phys. 1974. V. 6. № 1. P. 91—93.
123. Yoshimura J., Kondo S., Ihara M., Hashimoto H. // Chem. Lett. 1979. № 7. P. 819—820.
124. Yoshimura J., Kondo S., Ihara M., Hashimoto H. // Carbohyd. Res. 1982. V. 99. P. 128—142.

125. Omura S., Murata M., Imamura N., Iwai Y., Tanaka H. // J. Antibiot. 1984. V. 37. № 11. P. 1324—1332.
126. Kawahata Y., Takatsuto S., Ikekawa N., Murata M., Omura S. // Chem. Pharm. Bull. 1986. V. 34. № 8. P. 3102—3110.
127. Wolfrom M. L., Hanessian S. // J. Org. Chem. 1962. V. 27. № 5. P. 1800—1801.
128. Carlsen P. H. J., Katsuki T., Martin W. S., Charpless K. B. // J. Org. Chem. 1981. V. 46. № 19. P. 3936—3938.
129. Umezawa H., Aoyagi T., Morishima H., Matuzaki M., Hamada M., Takita T. // J. Antibiot. 1970. V. 23. № 5. P. 259—262.
130. Morishima H., Takita T., Aoyagi T., Takeuchi T., Umezawa H. // Antibiot. 1970. V. 23. № 5. P. 263—265.
131. Murao S., Satoi S. // Agric. Biol. Chem. 1970. V. 34. № 9. P. 1265—1271.
132. Rinehart K. L., Glear J. B., Cook J. C. // J. Amer. Chem. Soc. 1981. V. 103. № 7. P. 1857—1859.
133. Boger J., Lohr N. S., Ulm E. H., Poe M., Bleine E. H., Fanelli G. M., Lin T.-Y., Payne L. S., Schorn T. W., LaMont B. I., Vassil T. C., Stabilito I. I., Veber D. F. / Nature. 1983. V. 303. P. 81—84.
134. Rich D. H., Sun E. T., Boparai A. S. // J. Org. Chem. 1978. V. 43. № 18. P. 3624—3626.
135. Rittle K. E., Homnick C. F., Ponticello G. S., Evans B. E. // J. Org. Chem. 1982. V. 47. № 15. P. 3016—3018.
136. Hayou A. F., Fehrentz J.-A., Chapleur Y., Castro B. // Bull. Soc. chim. France. 1983. № 7—8. P. 207—210.
137. Rague B., Fehrentz J.-A., Guegan R., Chapleur Y., Castro B. // Bull. Soc. chim. France. 1983. № 7—8. P. 230—232.
138. Danishefsky S., Kobayashi S., Kerwin J. F. // J. Org. Chem. 1982. V. 47. № 10. P. 1981—1983.
139. Woo P. W. K. // Tetrahedron Lett. 1985. V. 26. № 25. P. 2973—2976.
140. Kogen H., Nishi T. // J. Chem. Soc. Chem. Communns. 1987. № 4. P. 311—312.
141. Harris B. D., Bhat K. L., Joullie M. M. // Tetrahedron Lett. 1987. V. 28. № 25. P. 2837—2840.
142. Morishima H., Takita T., Umezawa H. // J. Antibiot. 1973. V. 26. № 2. P. 115—116.
143. Steulmann R., Klostermeyer H. // Liebigs Ann. Chem. 1975. № 12. P. 2245—2250.
144. Rich D. H., Sun E. T., Boparai A. S. // J. Org. Chem. 1978. V. 43. № 18. P. 3624—3626.
145. Lin W. S., Smith S. C., Glover G. I. // J. Med. Chem. 1979. V. 22. № 5. P. 577—583.
146. Reetz M. T., Drewes M. W., Schmitz A. // Angew. Chem. 1987. V. 99. № 11. P. 1186—1188.
147. Sakitani M., Ohfune Y. // Tetrahedron Lett. 1987. V. 28. № 34. P. 3987—3990.
148. Kano S., Yokomatsu T., Iwasawa H., Shibuya S. // Chem. Lett. 1987. № 8. P. 1531—1534.
149. Join P., Castro B. // J. Chem. Soc. Perkin Trans. 1. 1987. № 6. P. 1177—1182.
150. Lubell W. D., Rapoport H. // J. Amer. Chem. Soc. 1987. V. 109. № 1. P. 236—239.
151. Maibaum J., Rich D. H. // J. Org. Chem. 1988. V. 53. № 4. P. 869—873.
152. Dufour-M.-N., Join P., Poncet J., Pantaloni A., Castro B. // J. Chem. Soc. Perkin Trans. 1. 1986. № 11. P. 1895—1899.
153. Savrda J., Descoins C. // Synthetic Communns. 1987. V. 17. № 16. P. 1901—1906.
154. Schostarez J. // J. Org. Chem. 1988. V. 53. № 15. P. 3628—3631.
155. Nakamura H., Morishima H., Takita T., Umezawa H., Litaka Y. // J. Antibiot. 1973. V. 26. № 4. P. 255—256.
156. Kinoshita M., Aburaki S., Hagiwara A., Imai J. // J. Antibiot. 1973. V. 26. № 4. P. 249—251.
157. Kinoshita M., Hagiwara A., Aburaki S. // Bull. Chem. Soc. Jap. 1975. V. 48. № 2. P. 570—575.
158. Murray D. H., Prokop J. // J. Pharm. Sci. 1965. V. 54. № 10. P. 1468—1473.
159. Prokop J., Murray D. H. // J. Pharm. Sci. 1965. V. 54. № 3. P. 359—365.
160. Aoyagi T., Kunimoto S., Morishima H., Takeuchi T., Umezawa H. // J. Antibiot. 1971. V. 24. № 10. P. 687—694.
161. Aoyagi T., Morishima H., Nishizawa R., Kunimoto S., Takeuchi T., Umezawa H., Ikekawa H. // J. Antibiot. 1972. V. 25. № 12. P. 689—694.
162. Mulzer J., Buttelmann B., Munch W. // Liebigs Ann. Chem. 1988. № 5. S. 445—448.
163. Mulzer J., Angermann A. // Tetrahedron Lett. 1983. V. 24. № 28. P. 2843—2846.
164. Mulzer J., Angermann A., Munch W. // Liebigs Ann. Chem. 1986. № 6. P. 825—838.
165. Mitsunobu O. // Synthesis. 1981. № 1. P. 1—28.
166. Abiko A., Roberts J. C., Takemasa T., Masamune S. // Tetrahedron Lett. 1986. V. 27. № 38. P. 4537—4540.
167. Kano S., Yuasa Y., Yokomatsu T., Shibuya S. // J. Org. Chem. 1988. V. 53. № 16. P. 3865—3868.
168. Yamada S., Koga K., Yuang T. N., Achiwa K. // Chem. Lett. 1976. № 9. P. 927—932.
169. Cohen S. G., Weinstein S. Y. // J. Amer. Chem. Soc. 1964. V. 86. № 23. P. 5326—5330.
170. Inch T. D. // Tetrahedron. 1984. V. 40. № 17. P. 3161—3213.
171. Kano S., Yuasa Y., Shibuya S. // Heterocycles. 1987. V. 26. № 2. P. 373—381.
172. Kano S., Yokomatsu T., Iwasawa H., Shibuya S. // Tetrahedron Lett. 1987. V. 28. № 50. P. 6331—6334.

173. Kano S., Yokomatsu T., Iwasawa H., Shibuya S. // Chem. Lett. 1987. № 8. P. 1531—1534.
174. Umezawa H., Aoyagi T., Komiya T., Morishima H., Hamada M., Takeuchi T. // J. Antibiot. 1974. V. 27. № 12. P. 963—969.
175. Nishimura Y., Wang W., Kondo S., Aoyagi T., Umezawa H. // J. Amer. Chem. Soc. 1988. V. 110. № 21. P. 7249—7250.
176. Wagner R., Tilley J. W., Lovey K. // Synthesis. 1990. № 9. P. 785—786.
177. Tashiro T., Fushiya S., Nozaki S. // Chem. Pharm. Bull. 1988. V. 36. № 3. P. 893—901.
178. Schmidt U., Respondek M., Lieberknecht A., Werner J., Fisher P. // Synthesis. 1989. № 4. P. 256—261.
179. Genet J. P., Juge S., Mallart S. // Tetrahedron Lett. 1988. V. 29. № 51. P. 6765—6768.
180. Umemura E., Tsuchiya T., Umezawa S. // J. Antibiotics. 1988. V. 41. № 4. P. 530—537.
181. Ojima I., Chem H. C., Qiu X. // Tetrahedron. 1988. V. 44. № 17. P. 5307—5319.
182. Gianni A., Henk T. // Tetrahedron Lett. 1990. V. 31. № 9. P. 1253—1256.
183. Dureault A., Transhepaine I., Depeyaz J. C. // J. Org. Chem. 1989. V. 54. № 22. P. 5324—5330.
184. Duhamel L., Duhamel P., Fouquag S., Eddine J. J., Peschard O., Plaquevent J. C., Ravard A., Solliard R., Valnot J. Y., Vincens H. // Tetrahedron. 1988. V. 44. № 17. P. 5495—5506.
185. Kunz H., Pfrengle W., Sager W. // Tetrahedron. Lett. 1989. V. 30. № 31. P. 4109—4110.
186. Kunz H., Schanzenbach D. // Angew. Chem. Int. Ed. Eng. 1989. V. 28. № 8. P. 1068—1069.
187. Laschart S., Kunz H. // Synlett. 1990. № 1. P. 51—52.
188. Laschart S., Kunz H. // Synlett. 1990. № 10. P. 629—630.
189. Kunz H., Sager W., Pfrengle W., Schanzenbach D. // Tetrahedron Lett. 1988. V. 29. № 35. P. 4397—4400.
190. Thiam M., Chastrette F. // Tetrahedron. Lett. 1990. V. 31. № 10. P. 1429—1432.
191. Fleet G. W. J., Ramsden N. G., Witty D. R. // Tetrahedron. 1989. V. 45. № 1. P. 319—326.
192. Fleet G. W. J., Witty D. R. // Tetrahedron Asymmetry. 1990. V. 1. № 2. P. 119—136.
193. Moss W. O., Bradbury R. H., Hales N. J., Gallagher T. // J. Chem. Soc. Chem. Commun. 1990. № 1. P. 51—53.
194. Ohfune Y., Kurokawa N. // Tetrahedron Lett. 1985. V. 26. № 43. P. 5307—5308.
195. Tasano S., Iwabuchi Y., Ogasawara K. // J. Chem. Soc. Chem. Commun. 1988. № 23. P. 1527—1529.
196. Shirahama H., Konno K., Hashimoto K., Matsumoto T. // Excerpta Med. 1988. V. 832 (Neurotox' 88). P. 105—122; Chem. Abstr. 1989. V. 111. № 2419c.
197. Takano S., Tomita S., Iwabuchi Y., Ogasawara K. // Heterocycles. 1989. V. 29. № 8. P. 1443—1446.
198. Dondoni A., Fantin G., Fogagnolo M., Merino P. // J. Chem. Soc. Chem. Commun. 1990. № 12. P. 854—856.
199. Hashimoto K., Shirahama H. // J. Synth. Org. Chem. 1989. V. 47. № 3. P. 212—223.
200. Savage I., Thomas E. J. // J. Chem. Soc. Chem. Commun. 1989. № 11. P. 717—719.
201. Dureault A., Carreaux F., Depeyaz J. C. // Tetrahedron Lett. 1989. V. 30. № 34. P. 4527—4530.
202. Garner P., Park J. M. // Tetrahedron Lett. 1989. V. 30. № 38. P. 5065—5068.
203. Kolasa T., Miller M. J. // Tetrahedron. 1989. V. 45. № 10. P. 3071—3080.
204. Cardillo G., Orena M. // Tetrahedron. 1990. V. 46. № 10. P. 3321—3408.
205. Garnes P., Park J. M. // J. Org. Chem. 1990. V. 55. № 12. P. 3772—3787.
206. Simchen G., Pürkner E. // Synthesis. 1990. № 6. P. 525—527.
207. Kessler H., Schudok M. // Synthesis. 1990. № 6. P. 457—458.
208. Bernardi A., Micheli F., Potenza D., Seolastio C., Villa R. // Tetrahedron Lett. 1990. V. 31. № 34. P. 4949—4952.
209. Matsumoto T., Kobayashi Y., Takemoto Y., Ito Y., Kamijo T., Harada H., Terashima S. // Tetrahedron Lett. 1990. V. 31. № 29. P. 4175—4176.
210. Yanagisawa H., Kanazaki T., Nishi T. // Chem. Lett. 1989. № 4. P. 687—690.
211. Schmidt U., Krone M., Griesser H. // Synthesis. 1989. № 11. P. 832—835.
212. Kano S., Yokomatsu T., Shibuya S. // Heterocycles. 1990. V. 31. № 1. P. 13—16.
213. Sakai N., Ohfune Y. // Tetrahedron Lett. 1990. V. 31. № 29. P. 4151—4154.
214. Tanner D., Somfai P. // Tetrahedron Lett. 1988. V. 29. № 19. P. 2373—2376.
215. De Bernardo S., Tengi J. P., Sasso G., Weigle M. // Tetrahedron Lett. 1988. V. 29. № 33. P. 4077—4080.
216. Kasahara K., Iida H., Kibayashi C. // J. Org. Chem. 1989. V. 54. № 9. P. 2225—2233.
217. Sun C. Q., Rich D. H. // Tetrahedron Lett. 1988. V. 29. № 41. P. 5205—5208.
218. Rao R. A. V., Vadav J. S., Chandrasekhar S., Rao S. C. // Tetrahedron Lett. 1989. V. 30. № 48. P. 6769—6772.
219. McCombie S. W., Shankar B. B., Ganguly A. K. // Tetrahedron Lett. 1989. V. 30. № 50. P. 7029—7032.

220. Kinoshita M., Nakata M., Takarada K., Tatsuta K. // Tetrahedron Lett. 1989. V. 30. № 52. P. 7419—7422.
221. Kawai A., Hara O., Hamada Y., Shioiri T. // Tetrahedron Lett. 1988. V. 29. № 48. P. 6331—6334.
222. Gesson J. P., Jacquesy J. C., Mondon M. // Tetrahedron Lett. 1989. V. 30. № 47. P. 6503—6506.
223. Namikoshi M., Rinehart K. L., Dahlem A. M., Beasley V. R., Carmichael W. // Tetrahedron Lett. 1989. V. 30. № 33. P. 4349—4352.
224. Ando K., Yamada T., Takaishi Y., Shibuya M. // Heterocycles. 1989. V. 29. № 6. P. 1023—1027.
225. Hirai Y., Yokota K., Sakai H., Yamazaki T., Momose T. // Heterocycles. 1989. V. 29. № 10. P. 1865—1869.
226. Magnire M. P., Feldman P. L., Rapoport H. // J. Org. Chem. 1990. V. 55. № 3. P. 948—950.

Поступила в редакцию
14.VI.1989

K. A. KOCHETKOV, A. F. SVIRIDOV *

STEREOSELECTIVE SYNTHESIS OF AMINO ACIDS FROM SUGARS. III

A. N. Nesmeyanov Institute of Elementоорganic Chemistry, Academy
of Sciences of the USSR, Moscow:

* N. D. Zelinsky Institute of Organic Chemistry, Academy
of Sciences of the USSR, Moscow

Stereoselective syntheses of various «rare» amino acids starting from sugars are discussed.